

Fig. 9. Variation of the range parameter.

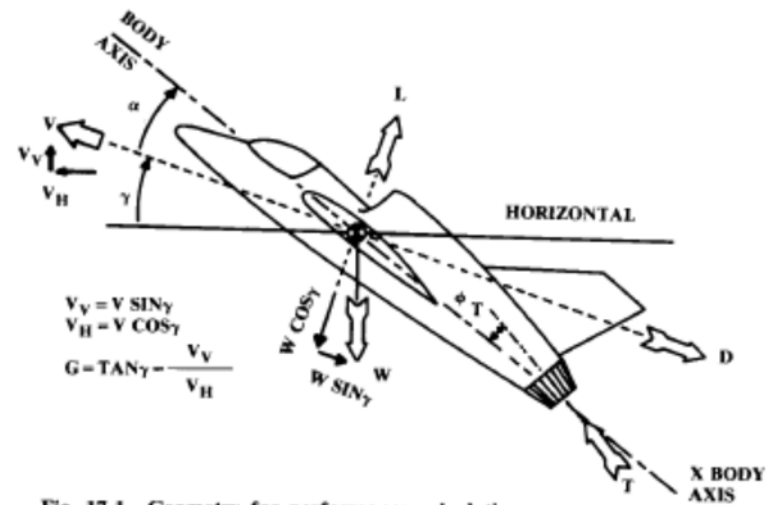


Fig. 17.1 Geometry for performance calculation.

Actuaciones Detalladas

Tema 12

$$R = \int_{W_i}^{W_f} \frac{V(L/D)}{-CW} dW = \frac{V L}{C D} \ln \left(\frac{W_i}{W_f} \right)$$

Sergio Esteban Roncero
Departamento de Ingeniería Aeroespacial
Y Mecánica de Fluidos

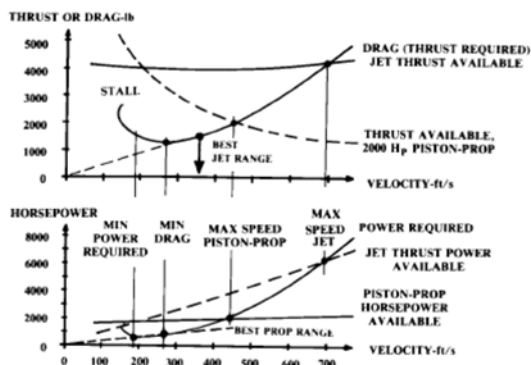


Fig. 17.2 Thrust and power.





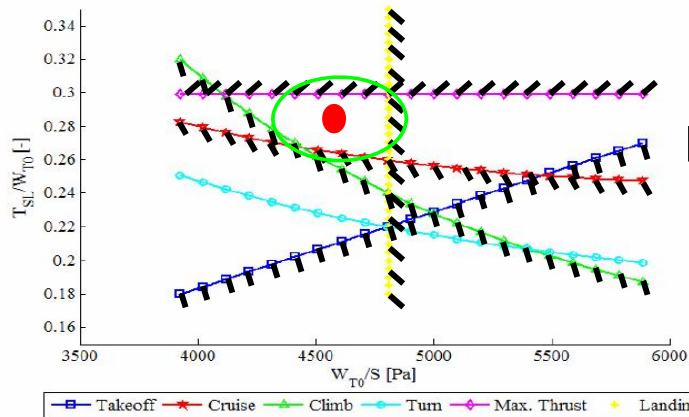
Outline

- Introducción.
- Actuaciones y Ecuaciones del Movimiento
- Segmentos de vuelo
- Vuelo rectilíneo, nivelado y constante.
- Análisis de despegue.
- Diagrama Carga de Pago-Alcance
- Bibliografía.

¿Dónde Estamos?

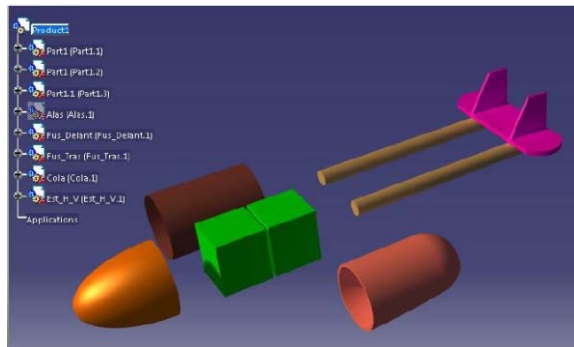
RFP → W/S & T/W

$$\frac{T_{t0}}{W_0} \geq \frac{T_{t0}}{T_{tloiter}} \frac{W_{loiter}}{W_{t0}} \left(\frac{K W_{t0} W_{loiter}}{q S W_{t0}} n^2 + \frac{C_{D0} q}{S W_{t0}} \right)$$

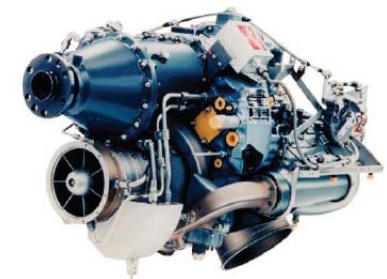


W/S & T/W
Elige

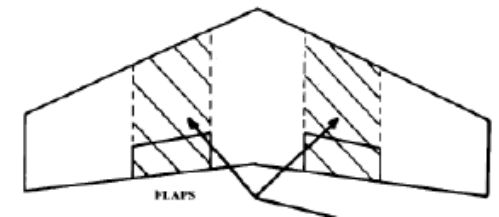
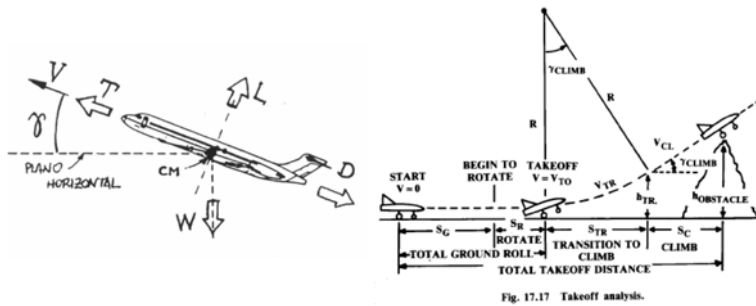
Elegidos
W/S & T/W



Estimación
W

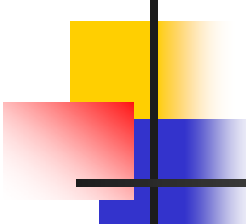


Elegidos
W,S,T

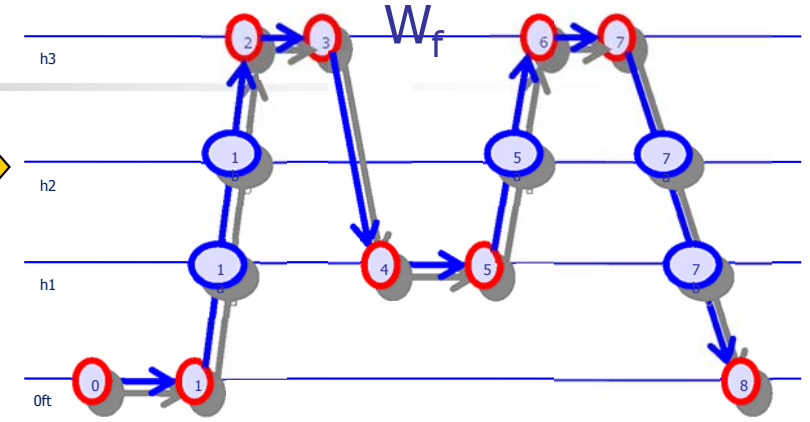


¿Cumple?
Requisitos
RFP

Análisis de Actuaciones



Estimación Fracciones



Análisis de Actuaciones

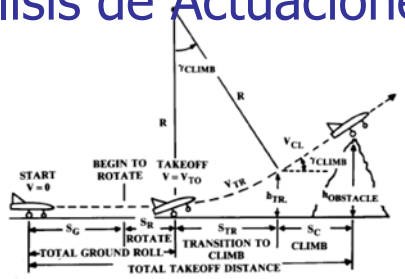
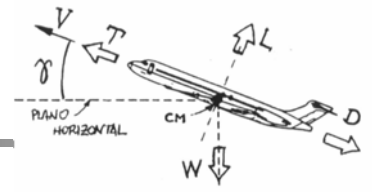
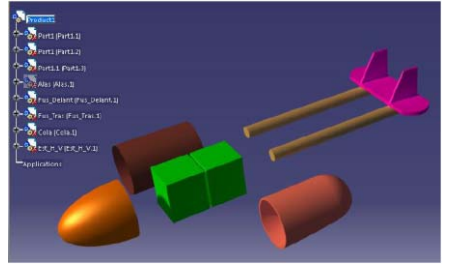


Fig. 17.17 Takeoff analysis.

Table 3.2 Historical mission segment weight fractions

	(W_i / W_{i-1})
Warmup and takeoff	0.970
Climb	0.985
Landing	0.995



$$W_0 = W_{crew} + W_{payload} + W_{fuel} + W_{empty}$$

Estimación Fracciones

W_e

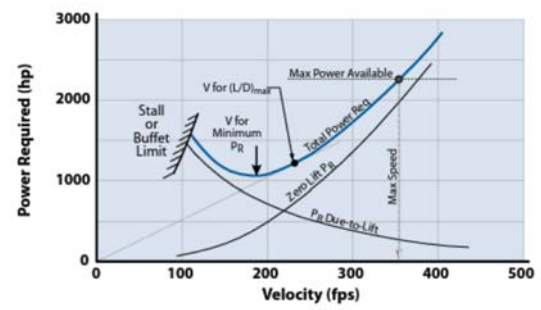


Figure 3.3 Power required for typical reciprocating-engine aircraft at constant altitude.

$$V_{min\ power} = \sqrt{\frac{2W}{\rho S}} \sqrt{\frac{K}{3C_{D0}}}$$

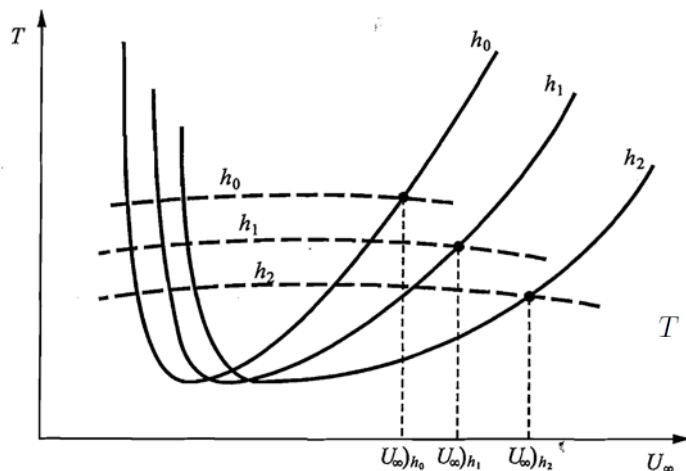
$$V_{min\ thrust\ or\ drag} = \sqrt{\frac{2W}{\rho S}} \sqrt{\frac{K}{C_{D0}}}$$

¿Cumple?
Requisitos
RFP

Elegidos
 W, S, T

Pautas para mejorar actuaciones

- Pautas para mejorar actuaciones:
 - 1º Cálculos con mínimos del RFP.
 - Asumir que el perfil de vuelo en los segmentos de subida y descenso no recorre distancias horizontales
 - 2º Calculo de distancias reales
 - considerar las distancias horizontales recorridas en segmentos de subida y descenso, por lo que el tramo de crucero será menor
 - 3º Calcular la posición de palanca asociada para la velocidad impuesta:
 - El RFP recomienda una posición de palanca para cada segmento (como punto de partida)
 - Por lo general la recomendación de posición de palanca implica que se tiene más empuje que resistencia -> más consumo de combustible
 - Ejemplo: si en crucero se tiene más empuje que resistencia asociada a la posición de palanca lo que se hace es calcular la posición de palanca correcta
 - 4º Calcular la posición de palanca asociada para la velocidad óptimas (que serán diferentes de las impuestas en el RFP)
 - Velocidad de crucero óptimo, velocidad de subida óptima...
 - 5º Modificar la geometría del avión (Cdo,k, S, etc...) para que la posición de palanca asociada para velocidades optimas sea también óptima
 - Optimización de las actuaciones del motor elegido



$$T = \frac{P}{V} \eta_p \quad \Rightarrow \quad P = \delta_T P_{SL} \left(1 + \frac{\gamma - 1}{2} M^2 \right)^{\frac{\gamma - 1}{\gamma}} \frac{P}{P_{SL}}$$

$$T = \delta_T T_{SL} \left(1 + \frac{\gamma - 1}{2} M^2 \right)^{\frac{\gamma - 1}{\gamma}} (1,00 - 0,49\sqrt{M}) \frac{\delta}{\theta} = \delta_T T_{SL} \left(1 + \frac{\gamma - 1}{2} M^2 \right)^{\frac{\gamma - 1}{\gamma}} (1,00 - 0,49\sqrt{M}) \frac{\rho}{\rho_{SL}}$$

Pautas Actuaciones

- Diagrama de envolvente de vuelo
- Diagrama de carga de pago - alcance
- Análisis de misión completa
 - Misión base:
 - Velocidades de operación
 - Tiempos de vuelo
 - Consumos de combustible
 - Alcances
 - Carga de pago
 - Misión mejorada:
 - Variaciones en misión: carga de pago, alcance
 - Variaciones en velocidades óptimas
 - Velocidades de operación
 - Tiempos de vuelo
 - Consumos de combustible
 - Alcances



Actuaciones Integrales

Actuaciones Integrales - I

- El problema de las actuaciones integrales de un avión es el estudio del movimiento del avión entre los puntos inicial y final de su trayectoria, para una carga de combustible dada:
 - es decir, la trayectoria del avión es analizada de forma global.
- La trayectoria viene definida por la siguiente relación cinemática con respecto a un sistema inercial

$$\frac{d\vec{x}}{dt} = \vec{V}_g \longleftarrow \text{Velocidad total (ground speed)}$$

- Se van a considerar dos actuaciones integrales concretas, en vuelo simétrico, horizontal, rectilíneo y con el aire en calma ($V_g = V$):
 - **Alcance: distancia recorrida respecto a tierra.**
 - **Autonomía: tiempo que la aeronave se mantiene en vuelo.**
- Las ecuaciones del movimiento son $L = W$ y $D = T$, ecuaciones en las que se desprecian las fuerzas de inercia debidas a las variaciones de V con el tiempo, caso de haberlas.

Actuaciones Integrales - II

- El peso del avión en un instante dado puede escribirse de la siguiente forma:

$$W(t) = W_S + W_F(t),$$

- W_S es el peso fijo (estructura, tripulación, etc.)
- $W_F(t)$ es el peso de combustible en dicho instante.
- El peso total disminuye con el tiempo debido al consumo de combustible.
- El parámetro que define el consumo del motor es el consumo específico, c_E viene dado por:

$$\dot{W} = -CT$$

- definido para un turbojet:
 - peso de combustible consumido por unidad de tiempo y por unidad de empuje suministrado.

$$c_E = \frac{1}{T} \left(-\frac{dW_F}{dt} \right)$$

- definido para aviones propulsados por hélice con motor alternativo:
 - peso de combustible consumido por unidad de tiempo y por unidad de potencia generada.

$$\dot{W} = -CT$$

$$C = C_{\text{power}} \frac{V}{\eta_p} = C_{\text{bhp}} \frac{V}{550 \eta_p}$$

$$T = P\eta_p/V = 550 \text{ bhp } \eta_p/V$$

Actuaciones Integrales - III

- Las ecuaciones que describen la variación de la distancia recorrida y del peso del avión con el tiempo son:

Variación de la distancia recorrida y del peso con el tiempo

$$\frac{dx}{dt} = V,$$

$$\frac{dW}{dt} = -c_E T,$$

Se toma el peso del avión como variable independiente

$$\frac{dx}{dW} = -\frac{V}{c_E T},$$

$$\frac{dt}{dW} = -\frac{1}{c_E T}.$$

Integran entre peso inicial y final

$$x_A = -\int_{W_i}^{W_f} \frac{V}{c_E} E \frac{dW}{W},$$

$$t_A = -\int_{W_i}^{W_f} \frac{1}{c_E} E \frac{dW}{W},$$

Alcance

Autonomía

- La definición de eficiencia aerodinámica se tiene cuenta.
 - cuanto menor sea c_E y cuanto mayor sea la eficiencia aerodinámica, mayores serán el alcance y la autonomía.
- Para calcular las integrales es necesario especificar un programa de vuelo (*ley de pilotaje*), en el que se defina la variación de las variables V , E y c_E con W .
- Un ejemplo sencillo consiste en:
 - considerar c_E constante
 - volar a Angulo de ataque constante
 - en tal caso hay que variar el empuje durante el vuelo.

Range and Endurance - I

Diferentes Leyes de Pilotaje

- Range Equation & Endurance

$$\frac{dR}{dW} = \frac{V}{-CT} = \frac{V}{-CD} = \frac{V(L/D)}{-CW}$$

$$\frac{dE}{dW} = -\frac{1}{CT} = -\frac{1}{CW} \left(\frac{L}{D}\right)$$

- For constant altitude (ρ) and lift coefficient (C_L):

$$Range = \frac{1}{c} \frac{2\sqrt{2}}{\sqrt{\rho S}} \frac{\sqrt{C_L}}{C_D} \left(\sqrt{W_o} - \sqrt{W_1} \right) \quad Endurance = \frac{1}{c} \frac{C_L}{C_D} \ln \frac{W_o}{W_1}$$

- For constant velocity (V) and lift coefficient (C_L):

$$Range = \frac{V}{c} \frac{C_L}{C_D} \ln \frac{W_o}{W_1} \quad Endurance = \frac{1}{c} \frac{C_L}{C_D} \ln \frac{W_o}{W_1}$$

- For constant speed (V) and constant altitude (ρ):

$$Range = \frac{V}{c \sqrt{k C_{D_o}}} \left[\tan^{-1} \frac{\sqrt{k}}{\frac{1}{2} \rho V^2 S \sqrt{C_{D_o}}} W_o - \tan^{-1} \frac{\sqrt{k}}{\frac{1}{2} \rho V^2 S \sqrt{C_{D_o}}} W_1 \right]$$

$$Endurance = \frac{1}{c} \frac{1}{\sqrt{k C_{D_o}}} \tan^{-1} \left[\frac{1}{\left(\frac{W_1}{W_o} \right)^2 - 1} \right]$$

Range and Endurance - II

Diferentes Leyes de Pilotaje

- For constant velocity (V) and lift coefficient (C_L):

$$Range = \frac{V C_L}{c C_D} \ln \frac{W_o}{W_1}$$

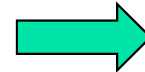
$$Endurance = \frac{1 C_L}{c C_D} \ln \frac{W_o}{W_1}$$

- Range and Endurance for Prop-airplanes

Imperial Units

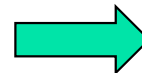
$$C = C_{power} \frac{V}{\eta_p} = C_{bhp} \frac{V}{550 \eta_p}$$

$$R = \int_{w_i}^{w_f} \frac{V(L/D)}{-CW} dW = \frac{V L}{C D} \ln \left(\frac{W_i}{W_f} \right)$$



$$R = \frac{\eta_p L}{C_{power} D} \ln \left(\frac{W_i}{W_f} \right) = \frac{550 \eta_p L}{C_{bhp} D} \ln \left(\frac{W_i}{W_f} \right)$$

$$C = C_{power} \frac{V}{\eta_p} = C_{bhp} \frac{V}{550 \eta_p}$$



$$E = \left(\frac{L}{D} \right) \left(\frac{\eta_p}{C_{power} V} \right) \ln \left(\frac{W_i}{W_f} \right) = \left(\frac{L}{D} \right) \left(\frac{550 \eta_p}{C_{bhp} V} \right) \ln \left(\frac{W_i}{W_f} \right)$$

$$E = \int_{W_i}^{W_f} \frac{1}{-CT} dW = \int_{W_i}^{W_i} \frac{1}{CW} \left(\frac{L}{D} \right) dW = \left(\frac{L}{D} \right) \left(\frac{1}{C} \right) \ln \left(\frac{W_i}{W_f} \right)$$

Actuaciones Integrales – Autonomía - I

- Autonomía en vuelo con ángulo de ataque constante:

- La condición de vuelo $\alpha = const$ equivale a $C_L = const$
- $C_L = const$ equivale a tiene $C_D = const$
- $E = const$.
- Se supone además $c_E = const$.

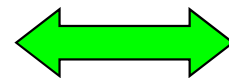
$$C_L = C_{L_0} + \frac{\partial C_L}{\partial \alpha} \alpha$$

$$C_D = C_{D_0} + k C_L^2,$$

$$E = \frac{C_L}{C_D}$$

- La autonomía viene dada por

$$t_A = -\frac{1}{c_E} E \int_{W_i}^{W_f} \frac{dW}{W} = \frac{1}{c_E} E \ln \frac{W_i}{W_f},$$



$$t_A = \frac{1}{c_E} E \ln \left(1 + \frac{W_F}{W_S} \right),$$

Peso combustible

Peso total

- Interesa que c_E sea pequeño, E grande y W_F/W_S grande;
- ρ no influye.
- El ángulo de ataque que maximiza la autonomía es el que maximiza la eficiencia aerodinámica, esto es, el que corresponde a $C_{L_{opt}}$

$$t_{A_{max}} = \frac{1}{c_E} E_{max} \ln \left(1 + \frac{W_F}{W_S} \right).$$

Actuaciones Integrales – Autonomía - II

Optimizando para Jet – mínimo empuje

$$\frac{dE}{dW} = -\frac{1}{CT} = -\frac{1}{CW} \left(\frac{L}{D}\right) \longrightarrow E = \int_{W_i}^{W_f} \frac{1}{-CT} dW = \int_{W_f}^{W_i} \frac{1}{CW} \left(\frac{L}{D}\right) dW = \left(\frac{L}{D}\right) \left(\frac{1}{C}\right) \ln\left(\frac{W_i}{W_f}\right)$$

$$\frac{T}{W} = \frac{1}{L/D} = \frac{qC_{D0}}{(W/S)} + \left(\frac{W}{S}\right) \frac{K}{q} \longrightarrow \frac{\partial(T/W)}{\partial V} = \frac{\rho VC_{D0}}{W/S} - \frac{W}{S} \frac{2K}{\frac{1}{2}\rho V^3} = 0$$

$$V_{\min \text{ thrust or drag}} = \sqrt{\frac{2W}{\rho S}} \sqrt{\frac{K}{C_{D0}}}$$

$$C_{L \min \text{ thrust or drag}} = \sqrt{\frac{C_{D0}}{K}}$$

$$D_{\min \text{ thrust or drag}} = qS \left[C_{D0} + K \left(\sqrt{\frac{C_{D0}}{K}} \right)^2 \right] = qS(C_{D0} + C_{D0})$$

Actuaciones Integrales – Autonomía - II

Optimizando para Motor/Hélice – mínima potencia

$$C = C_{\text{power}} \frac{V}{\eta_p} = C_{\text{bhp}} \frac{V}{550 \eta_p} \quad \longrightarrow \quad E = \int_{W_i}^{W_f} \frac{1}{-CT} dW = \int_{W_f}^{W_i} \frac{1}{CW} \left(\frac{L}{D}\right) dW = \left(\frac{L}{D}\right) \left(\frac{1}{C}\right) \ln\left(\frac{W_i}{W_f}\right)$$

$$E = \left(\frac{L}{D}\right) \left(\frac{\eta_p}{C_{\text{power}} V}\right) \ln\left(\frac{W_i}{W_f}\right) = \left(\frac{L}{D}\right) \left(\frac{550 \eta_p}{C_{\text{bhp}} V}\right) \ln\left(\frac{W_i}{W_f}\right) \quad \longleftarrow$$

$$\frac{\partial}{\partial V} \left(\frac{L}{DV}\right) = \frac{\partial}{\partial V} \left[\frac{2W/\rho V^3 S}{C_{D_0} + (4KW^2/\rho^2 V^4 S^2)} \right] = 0 \quad \longrightarrow \quad V = \sqrt{\frac{2W}{\rho S}} \sqrt{\frac{K}{3C_{D_0}}}$$

$$E = \int_{W_i}^{W_0} \frac{\eta_{\text{pr}}}{c} \sqrt{\frac{\rho_{\infty} S C_L}{2W}} \frac{C_L}{C_D} \frac{dW_f}{W} \quad \longrightarrow \quad E = \frac{\eta_{\text{pr}}}{c} \sqrt{2\rho_{\infty} S} \frac{C_L^{3/2}}{C_D} \left(W_1^{-1/2} - W_0^{-1/2}\right)$$

$$V_{\text{min power}} = \sqrt{\frac{2W}{\rho S}} \sqrt{\frac{K}{3C_{D_0}}}$$

$$D_{\text{min power}} = qS(C_{D_0} + 3C_{D_0})$$

$$C_{L_{\text{min power}}} = \sqrt{\frac{3C_{D_0}}{K}}$$

Actuaciones Integrales – Autonomía – III

Motores Hélice

$$E = - \int_{W_0}^{W_1} \frac{dW}{c P_{\text{eje}}} = - \int_{W_0}^{W_1} \frac{\eta}{c} \frac{dW}{T U_{\infty}} = - \int_{W_0}^{W_1} \frac{\eta}{c} \frac{W}{T} \frac{1}{U_{\infty}} \frac{dW}{W},$$

Introduciendo la sustentación como parámetro

$$E = - \int_{W_0}^{W_1} \frac{\eta}{c} \frac{c_L}{c_D} \frac{1}{\sqrt{\frac{1}{2} \rho S c_L}} \frac{dW}{W} = - \int_{W_0}^{W_1} \frac{\eta}{c} \frac{c_L^{\frac{3}{2}}}{c_D} \sqrt{\frac{\rho S}{2}} \frac{dW}{W^{3/2}}, \quad E = \frac{\eta}{c} \frac{c_L^{\frac{3}{2}}}{c_D} \sqrt{2 \rho S} \left(\frac{1}{\sqrt{W_1}} - \frac{1}{\sqrt{W_0}} \right),$$

- se maximiza la eficiencia de la hélice η
- se minimiza el consumo específico
- se maximiza la carga inicial de combustible aumentando $\frac{1}{\sqrt{W_1}} - \frac{1}{\sqrt{W_0}}$
- se vuela maximizando $\frac{c_L^{\frac{3}{2}}}{c_D}$
- Se vuela lo más bajo posible para que la densidad sea máxima

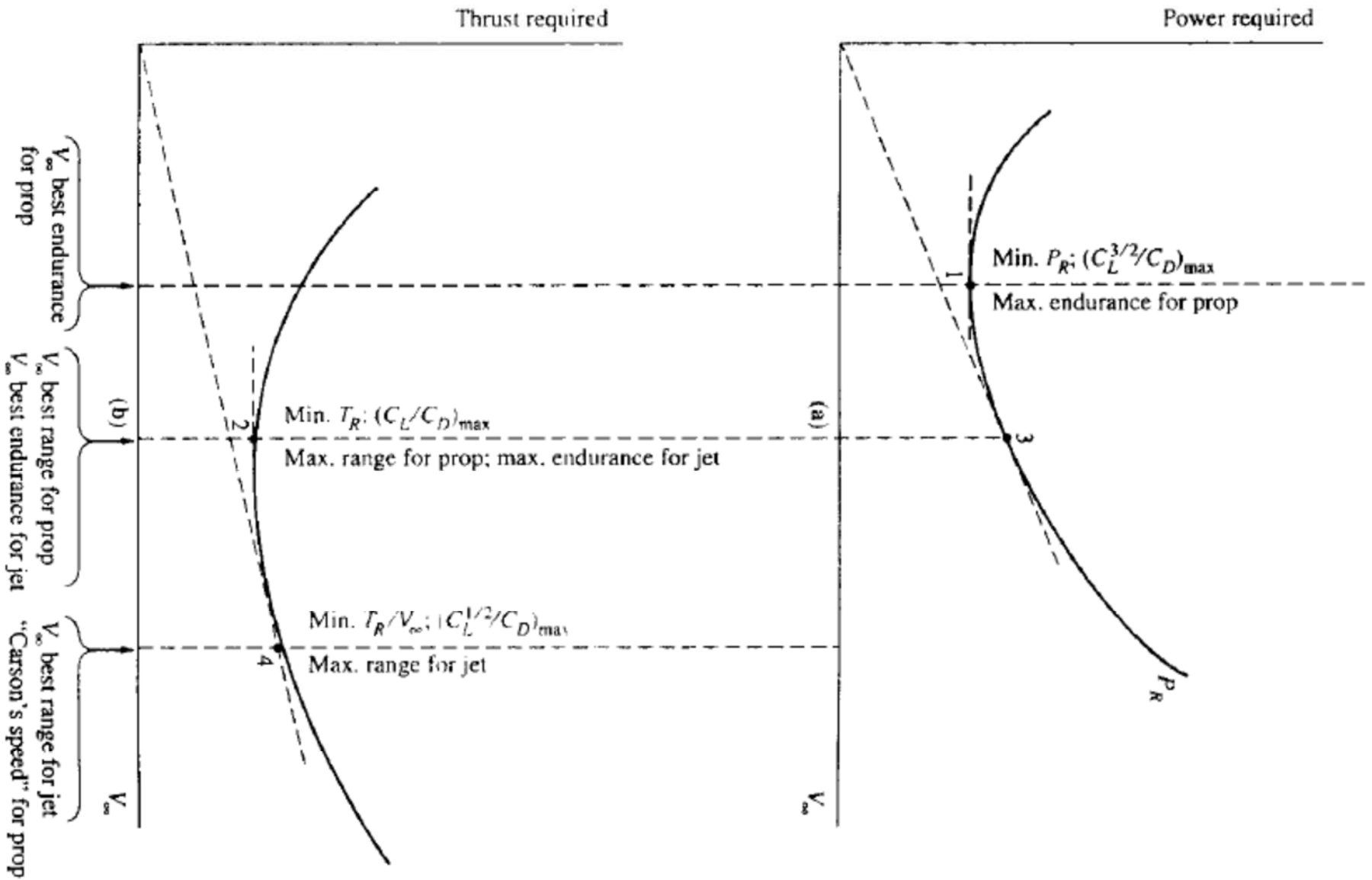


Figure 5.47 Graphical summary of conditions for maximum range and endurance.

Optimization: Range & Endurance

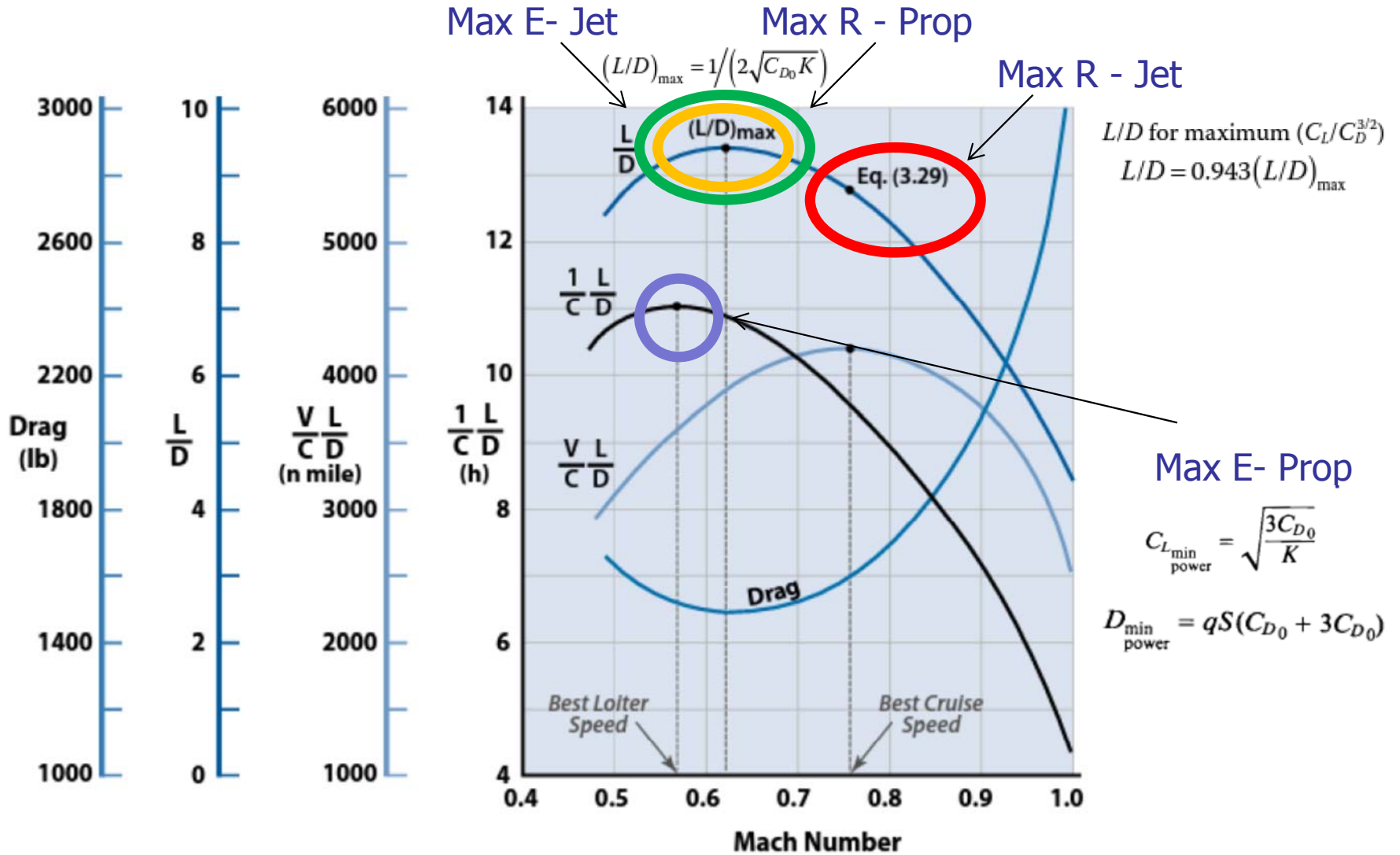
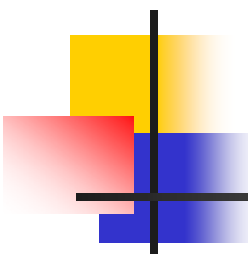


Figure 3.7 Cruise and loiter performance of composite lightweight fighter at 36,000 ft and $W/S_{ref} = 40$ psf (see Table 3.1).

Table 3.2 Values of C_L for Maximum Range and Endurance

Uncambered Wing			
Mission	Condition	Maximize	Value of $C_L^{(a)}$
Range—jet	Constant altitude	$C_L^{1/2}/C_D$	$\sqrt{C_{D_0}/3K}$
Range—jet	Constant throttle	$C_L/C_D^{3/2}$	$\sqrt{C_{D_0}/2K}$
Range—propeller	Constant altitude	C_L/C_D	$\sqrt{C_{D_0}/K}$
Range—sailplane	Minimum glide angle	C_L/C_D	$\sqrt{C_{D_0}/K}$
Endurance—sailplane	Minimum rate of sink	$C_L^{3/2}/C_D$	$\sqrt{3C_{D_0}/K}$
Endurance—propeller	Minimum power required	$C_L^{3/2}/C_D$	$\sqrt{3C_{D_0}/K}$
Endurance—jet	Minimum thrust required	C_L/C_D	$\sqrt{C_{D_0}/K}$
Use $C_D = C_{D_0} + KC_L^2$ to find L/D or C_L/C_D and $(L/D)_{\max} = 1/(2\sqrt{C_{D_0}/K})$			
Maximum jet range, constant throttle	$\frac{L}{D} = \frac{\sqrt{C_{D_0}/2K}}{C_{D_0} + KC_{D_0}/2K} = \sqrt{\frac{2}{9C_{D_0}K}} = \sqrt{\frac{8}{9}} (L/D)_{\max} = 0.943(L/D)_{\max}$		
Maximum jet range, constant altitude	$\frac{L}{D} = \frac{\sqrt{C_{D_0}/3K}}{C_{D_0} + KC_{D_0}/3K} = \sqrt{\frac{9}{48C_{D_0}K}} = \sqrt{\frac{3}{4}} (L/D)_{\max} = 0.866(L/D)_{\max}$		
Maximum propeller endurance	$\frac{L}{D} = \frac{\sqrt{3C_{D_0}/K}}{C_{D_0} + K3C_{D_0}/K} = \sqrt{\frac{3}{16C_{D_0}K}} = \sqrt{\frac{3}{4}} (L/D)_{\max} = 0.866(L/D)_{\max}$		

^aFly at prescribed C_L for max range and endurance! Use value of C_L to size wing for the range or endurance phase of the mission.

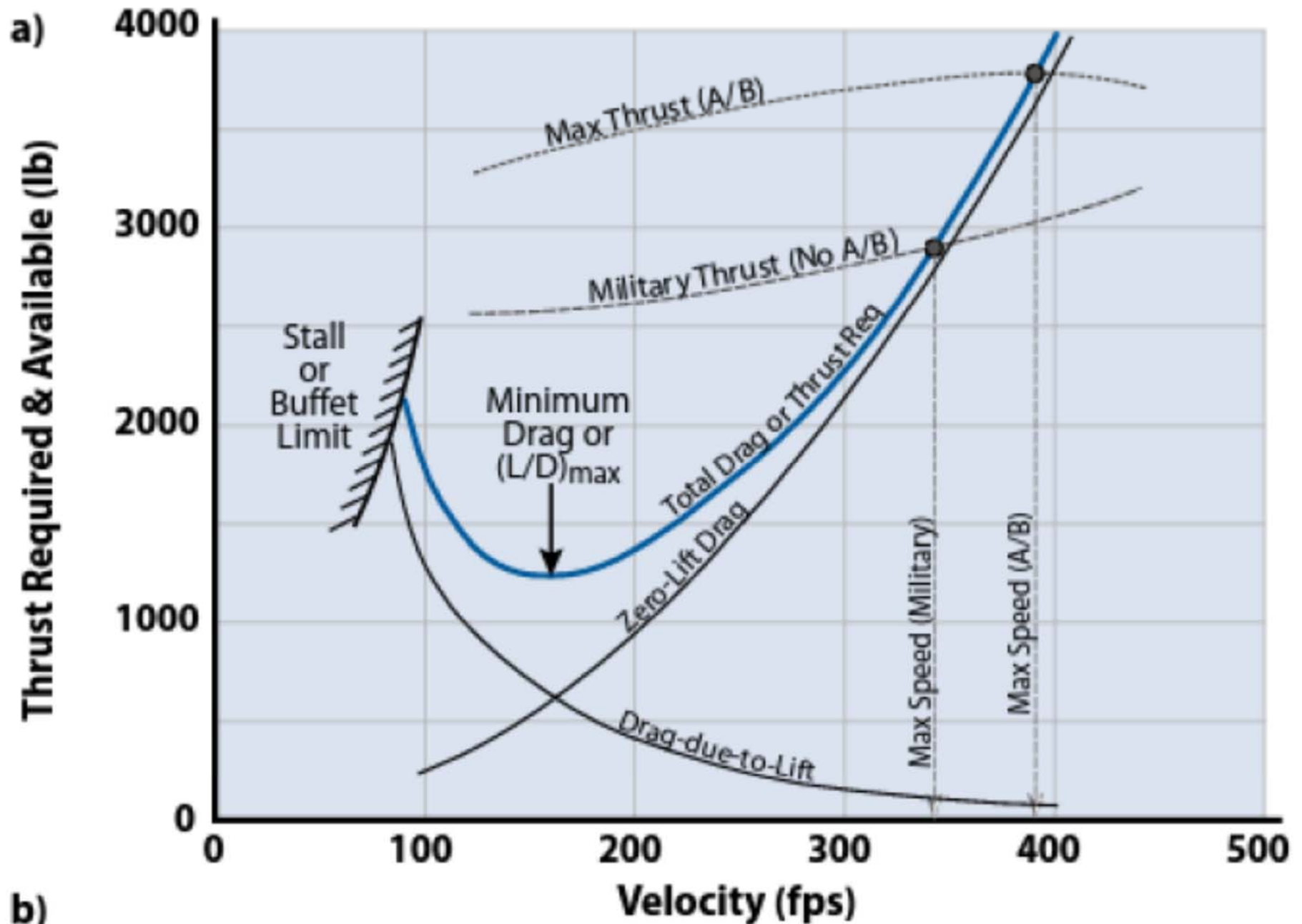


Cambered Wing		
Use $C_D = C_{D0} + K'C_L^2 + K''(C_L - C_{L_{min}})^2$		
$A = C_{D_{min}} + K''C_{L_{min}}^2$	$B = K''C_{L_{min}}$	$K = K' + K''$
Mission	Condition	Value of $C_L^{(0)}$
Range—Jet	Constant Altitude	$\sqrt{A/3K} - B/3K$
Range—Jet	Constant Throttle	$\sqrt{A/2K} - B/2K$
Range—Prop	Constant Altitude	$\sqrt{A/K}$
Range—Sailplane	Minimum Glide Angle	$\sqrt{A/K}$
Endurance—Sailplane	Minimum Rate of Sink	$\sqrt{3A/K} - B/K$
Endurance—Prop	Minimum Power Required	$\sqrt{3A/K} - B/K$
Endurance—Jet	Minimum Thrust Required	$\sqrt{A/K}$

°Fly at prescribed C_L for max range and endurance! Use value of C_L to size wing for the range or endurance phase of the mission.

$$\begin{aligned}
 C_D &= C_{D_{min}} + K(C_L - C_{L_{min-drag}})^2 \\
 &= C_{D_{min}} + KC_{L_{min-drag}}^2 + KC_L^2 - 2KC_L C_{L_{min-drag}} \\
 &= C_{D0} + k_1 C_L^2 - k_2 C_L
 \end{aligned}
 \quad \longrightarrow \quad
 \begin{aligned}
 C_{D0} &= C_{D_{min}} + KC_{L_{min-drag}}^2 \\
 k_1 &= K \\
 k_2 &= 2KC_L C_{L_{min-drag}}
 \end{aligned}$$

Empuje vs. V



Potencia vs. V

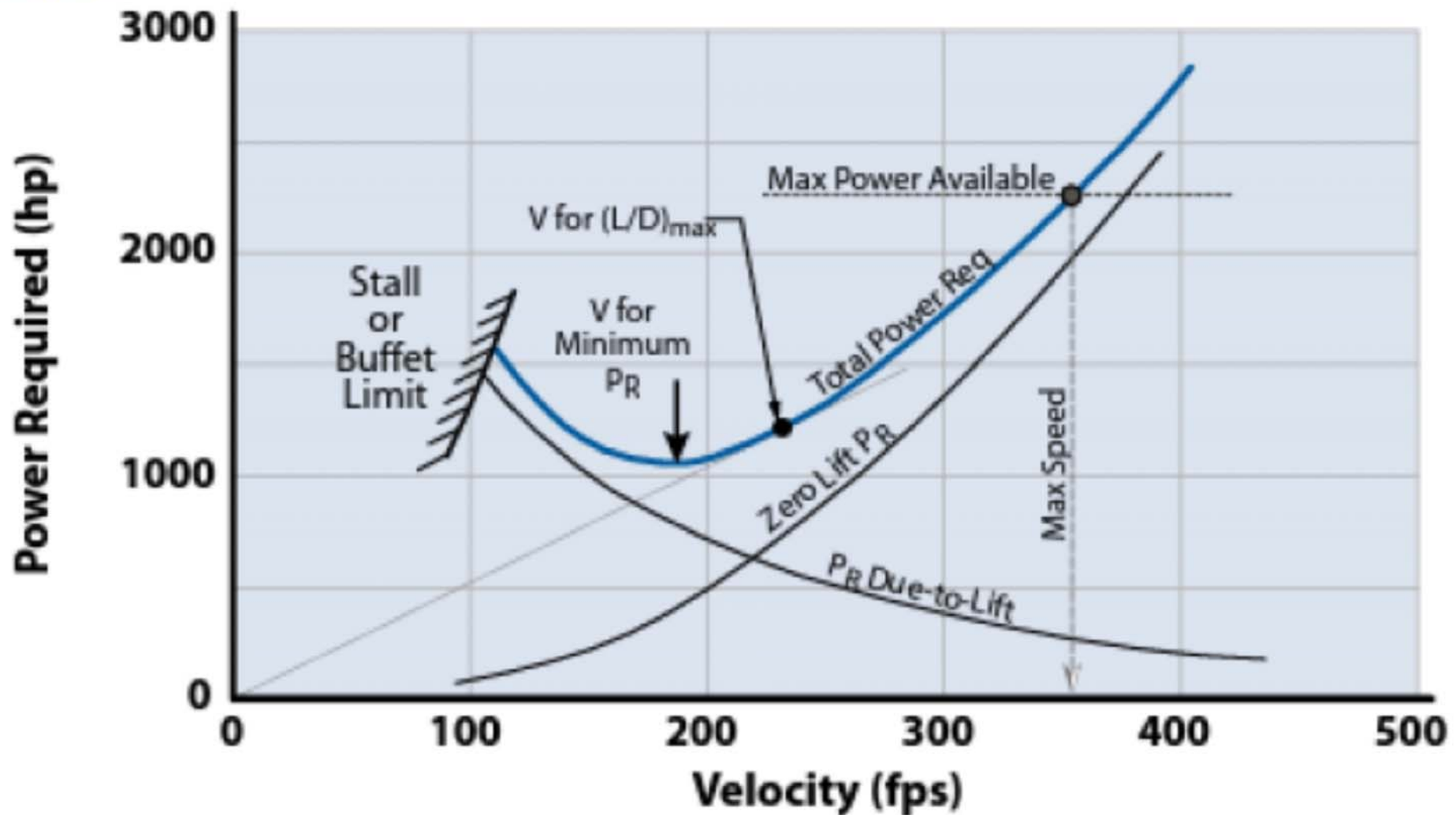


Figure 3.3 Power required for typical reciprocating-engine aircraft at constant altitude.



Vuelo Acelerado

Despegue y Aterrizaje

Análisis de Despegue - I

- En necesario incluir un análisis mucho más detallado a las maniobras de despegue y aterrizaje para saber si la configuración elegida es capaz de satisfacer los requisitos de despegue y aterrizaje.
- Se establecen una serie de etapas que definen en mayor detalle las partes del despegue.
 - Rodadura:
 - Nivelada
 - Rotación
 - Transición hasta llegar al ángulo de ascenso
 - Ascensión
- **3 métodos alternativos**

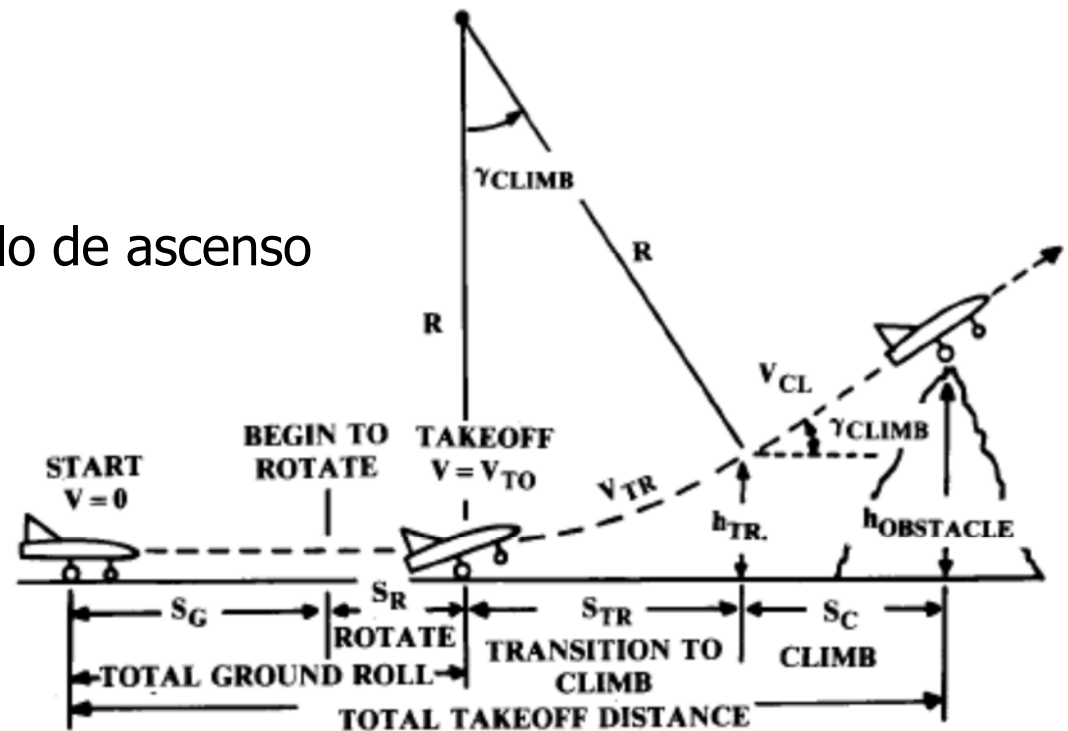
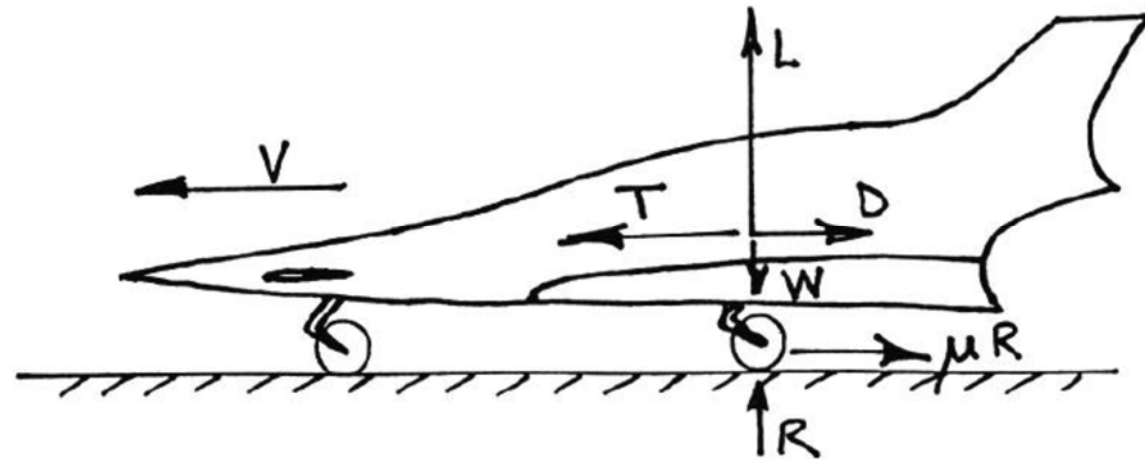


Fig. 17.17 Takeoff analysis.

Despegue – Método Alternativo 1 - I



Vertical Forces

$$L + R - W = 0 \quad \Rightarrow \quad R = W - L$$

Horizontal Forces

$$T - D - \mu R = m \frac{dV}{dt}$$

$$\Rightarrow T - D - \mu(W - L) = \frac{W}{g} \frac{dV}{dt}$$

$$g \left(\frac{T}{W} - \mu \right) - \frac{g}{W} (D - \mu L) = \frac{dV}{dt} \quad \Rightarrow \quad \frac{dV}{dt} = g \left(\frac{T}{W} - \mu \right) - \frac{g}{W} \frac{1}{2} \rho V^2 S (C_D - \mu C_{Lg})$$

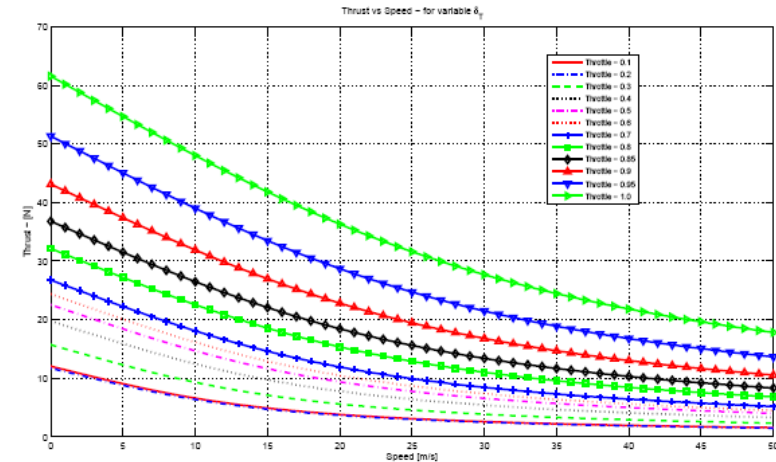
Variación de $T(V)$ y $W(t)$ pero este último se considera despreciable

Despegue – Método Alternativo 1 - II

Modelo simple de la variación del empuje en función de la velocidad

$$T = T_o - aV^2$$

Donde a es la reducción del empuje en función de la velocidad

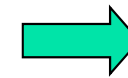


$$\frac{dV}{dt} = g \left(\frac{T}{W} - \mu \right) - \frac{g}{W} \frac{1}{2} \rho V^2 S (C_D - \mu C_{Lg}) \quad \Rightarrow \quad \frac{dV}{dt} = g \left(\frac{T_o}{W} - \mu \right) - \frac{g}{W} \left[\frac{1}{2} \rho S (C_D - \mu C_{Lg}) + a \right] V^2$$

$$A = g \left(\frac{T_o}{W} - \mu \right)$$



$$dV/dt = A - BV^2$$



$$\int_{t_1}^{t_2} dt = \int_{V_1}^{V_2} \frac{dV}{A - BV^2}$$

$$B = \frac{g}{W} \left[\frac{1}{2} \rho S (C_D - \mu C_{Lg}) + a \right]$$

Asumiendo que el avión empieza la carrera de despegue con velocidad cero y que no hay viento

$$t = \frac{1}{\sqrt{AB}} \tan h^{-1} \left(V_{TO} \sqrt{\frac{B}{A}} \right) = \text{time for take-off.}$$

Despegue – Método Alternativo 1 - III

$$\frac{dV}{dS} = \frac{dV/dt}{dS/dt} = \frac{A - BV^2}{V} \quad \rightarrow$$

$$V_{TO} = 1.2 V_{STALL}$$

$$dS = \frac{VdV}{A - BV^2}$$

$$S_2 - S_1 = -\frac{1}{2B} \ln(A - BV^2) \Big|_{V_1}^{V_2} \quad \rightarrow \quad S_2 - S_1 = \frac{1}{2B} \ln\left(\frac{A - BV_1^2}{A - BV_2^2}\right)$$

$$S_{TO} = \frac{1}{2B} \ln\left(\frac{A}{A - BV_{TO}^2}\right)$$

$$A = g\left(\frac{T_o}{W} - \mu\right)$$

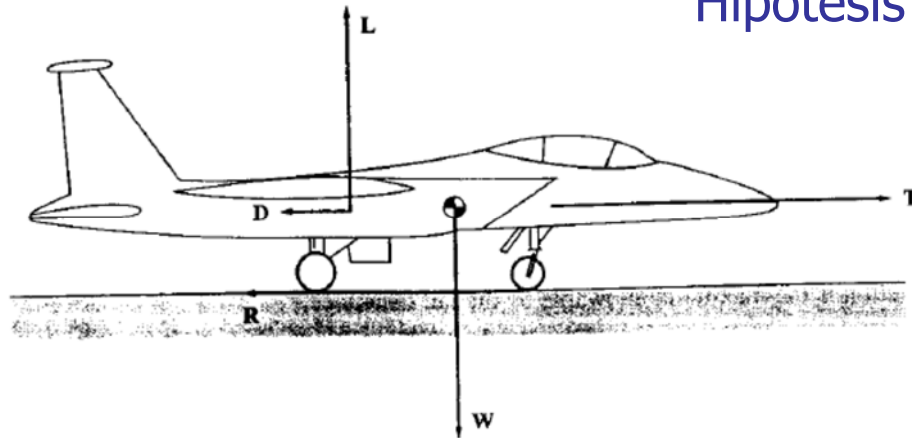
$$B = \frac{g}{W} \left[\frac{1}{2} \rho S (C_D - \mu C_{Lg}) + a \right]$$

Distancia de despegue

$$S_{TO} = \frac{W}{g[\rho S(C_D - \mu C_{Lg}) + a]} \ln \left\{ \frac{\left(\frac{T_o}{W} - \mu\right)}{\left(\frac{T_o}{W} - \mu\right) - \frac{1}{W} \left[\frac{1}{2} \rho S (C_D - \mu C_{Lg}) + a \right] V_{TO}^2} \right\}$$

$$T = T_o - aV^2$$

Despegue – Método Alternativo 2 - I



Hipótesis de la velocidad de media $V_\infty = 0.7V_{LO}$

$$m \frac{dV_\infty}{dt} T - D - \mu_r (W - L)$$

reciprocating engine $\Rightarrow T = \frac{const}{V_{infty}}$

Turbojet $\Rightarrow T = const$

Altura del ala por encima del suelo

envergadura

Turbofan $T = k_1^* - k_2^* V_\infty + k_3^* V_\infty^2$

$$\frac{C_{D_i} \text{ (in-ground effect)}}{C_{D_i} \text{ (out-of-ground effect)}} \equiv G = \frac{(16h/b)^2}{1 + (16h/b)^2}$$

$$C_D = C_{D,0} + K C_L^2$$

$K_{uc} = 5.81 \times 10^{-5}$ for a zero flap deflection

$K_{uc} = 3.16 \times 10^{-5}$ for maximum flap deflection

Modelo de resistencia (efecto suelo)

Resistencia adicional por flaps

$$\Delta C_{D,0} = \frac{W}{S} K_{uc} m^{-0.215}$$

$$C_D = C_{D,0} + \Delta C_{D,0} + (k_1 + Gk_3) C_L^2$$

$$k_1 = \frac{1}{3} k_3 \quad k_3 = \frac{1}{\pi e AR}$$

Despegue – Método Alternativo 2 - II

Hipótesis de la velocidad de media $V_\infty = 0.7V_{LO}$

$$ds = \frac{ds}{dt} dt = V_\infty dt$$

$$\int_0^{s_g} ds = \int_0^{t_{LO}} V_\infty dt \quad \rightarrow \quad ds = \frac{ds}{dt} dt = V_\infty dt = V_\infty \frac{dt}{dV_\infty} dV_\infty \quad \rightarrow \quad ds = \frac{V_\infty dV_\infty}{dV_\infty/dt} = \frac{d(V_\infty^2)}{2(dV_\infty/dt)}$$

$$s_g = \int_0^{t_{LO}} V_\infty dt \quad \quad \frac{dV_\infty}{dt} = \frac{1}{m} [T - D - \mu_r(W - L)]$$

$$\frac{dV_\infty}{dt} = \frac{g}{W} \left[T - \frac{1}{2} \rho_\infty V_\infty^2 S C_D - \mu_r \left(W - \frac{1}{2} \rho_\infty V_\infty^2 S C_L \right) \right] \quad \quad \frac{dV_\infty}{dt} = g \left[\frac{T}{W} - \mu_r - \frac{\rho_\infty}{2(W/S)} (C_D - \mu_r C_L) V_\infty^2 \right]$$

Modelo de resistencia (efecto suelo) $C_D = C_{D,0} + \Delta C_{D,0} + (k_1 + Gk_3) C_L^2$

$$\frac{dV_\infty}{dt} = g \left\{ \frac{T}{W} - \mu_r - \frac{\rho_\infty}{2(W/S)} \left[C_{D,0} + \Delta C_{D,0} + \left(k_1 + \frac{G}{\pi eAR} \right) C_L^2 - \mu_r C_L \right] V_\infty^2 \right\}$$

Despegue – Método Alternativo 2 - III

$$\Delta C_{D,0} = \frac{W}{S} K_{uc} m^{-0.215} \quad \text{Hipótesis de la velocidad de media } V_{\infty} = 0.7V_{LO}$$

$$k_1 = \frac{1}{3}k_3$$

$$k_3 = \frac{1}{\pi e AR}$$

$$C_D = C_{D,0} + \Delta C_{D,0} + (k_1 + Gk_3) C_L^2$$

$$\frac{dV_{\infty}}{dt} = g \left\{ \frac{T}{W} - \mu_r - \frac{\rho_{\infty}}{2(W/S)} \left[C_{D,0} + \Delta C_{D,0} + \left(k_1 + \frac{G}{\pi e AR} \right) C_L^2 - \mu_r C_L \right] V_{\infty}^2 \right\}$$

$$\underbrace{\left(\frac{T}{W} - \mu_r \right)}_{K_T} \longleftarrow V_{\infty} = 0.7V_{LO} \longrightarrow \underbrace{\left(-\frac{\rho_{\infty}}{2(W/S)} \left[C_{D,0} + \Delta C_{D,0} + \left(k_1 + \frac{G}{\pi e AR} \right) C_L^2 - \mu_r C_L \right] \right)}_{K_A}$$

$$ds = \frac{ds}{dt} dt = V_{\infty} dt = V_{\infty} \frac{dt}{dV_{\infty}} dV_{\infty} \quad \longrightarrow \quad ds = \frac{V_{\infty} dV_{\infty}}{dV_{\infty}/dt} = \frac{d(V_{\infty}^2)}{2(dV_{\infty}/dt)}$$

$$\frac{dV_{\infty}}{dt} = g (K_T + K_A V_{\infty}^2) \quad \longrightarrow \quad ds = \frac{d(V_{\infty}^2)}{2g (K_T + K_A V_{\infty}^2)}$$

$$s_g = \int_0^{V_{LO}} \frac{d(V_{\infty}^2)}{2g(K_T + K_A V_{\infty}^2)}$$

$$s_g = \frac{1}{2gK_A} \ln \left(1 + \frac{K_A}{K_T} V_{LO}^2 \right) + NV_{LO}$$

Distancias de la fase de rotación

$N = 1$ for small aircraft
 $N = 3$ for large aircraft

Despegue – Método Alternativo 2 - IV

Simplificación sin el efecto suelo

$$\frac{dV_\infty}{dt} = \frac{1}{m}[T - D - \mu_r(W - L)] \quad \longrightarrow \quad ds = \frac{V_\infty dV_\infty}{dV_\infty/dt} = \frac{d(V_\infty^2)}{2(dV_\infty/dt)}$$

$$ds = \frac{m}{2} \frac{d(V_\infty^2)}{T - D - \mu_r(W - L)} \quad \longrightarrow \quad s_g = \frac{W}{2g} \int_0^{V_{LO}} \frac{d(V_\infty^2)}{T - D - \mu_r(W - L)}$$

Hipótesis de la velocidad de media

$$V_\infty = 0.7V_{LO} \quad \longrightarrow \quad s_g = \frac{WV_{LO}^2}{2g} \left[\frac{1}{T - D - \mu_r(W - L)} \right]_{0.7V_{LO}} + NV_{LO}$$

$$V_{stall} = \sqrt{\frac{2W}{\rho_\infty S (C_L)_{max}}}$$

Corregir con $1.2 V_{STALL}$

$$s_g = \frac{1.21(W/S)}{g\rho_\infty(C_L)_{max} [T/W - D/W - \mu_r(1 - L/W)]_{0.7V_{LO}}} + 1.1N \sqrt{\frac{2W}{\rho_\infty S (C_L)_{max}}}$$

$N = 1$ for small aircraft

$N = 3$ for large aircraft

Despegue – Método Alternativo 2 - IV

$$s_g = \frac{1.21(W/S)}{8\rho_\infty(C_L)_{\max} [T/W - D/W - \mu_r(1 - L/W)]_{0.7V_{LO}}} + 1.1N \sqrt{\frac{2W}{\rho_\infty S (C_L)_{\max}}}$$

Corregir con $1.2 V_{\text{STALL}}$

1. s_g increases with an increase in W/S .
2. s_g decreases with an increase in $(C_L)_{\max}$.
3. s_g decreases with an increase in T/W .

$$\frac{dV_\infty}{dt} = \frac{1}{m} [T - D - \mu_r(W - L)]$$

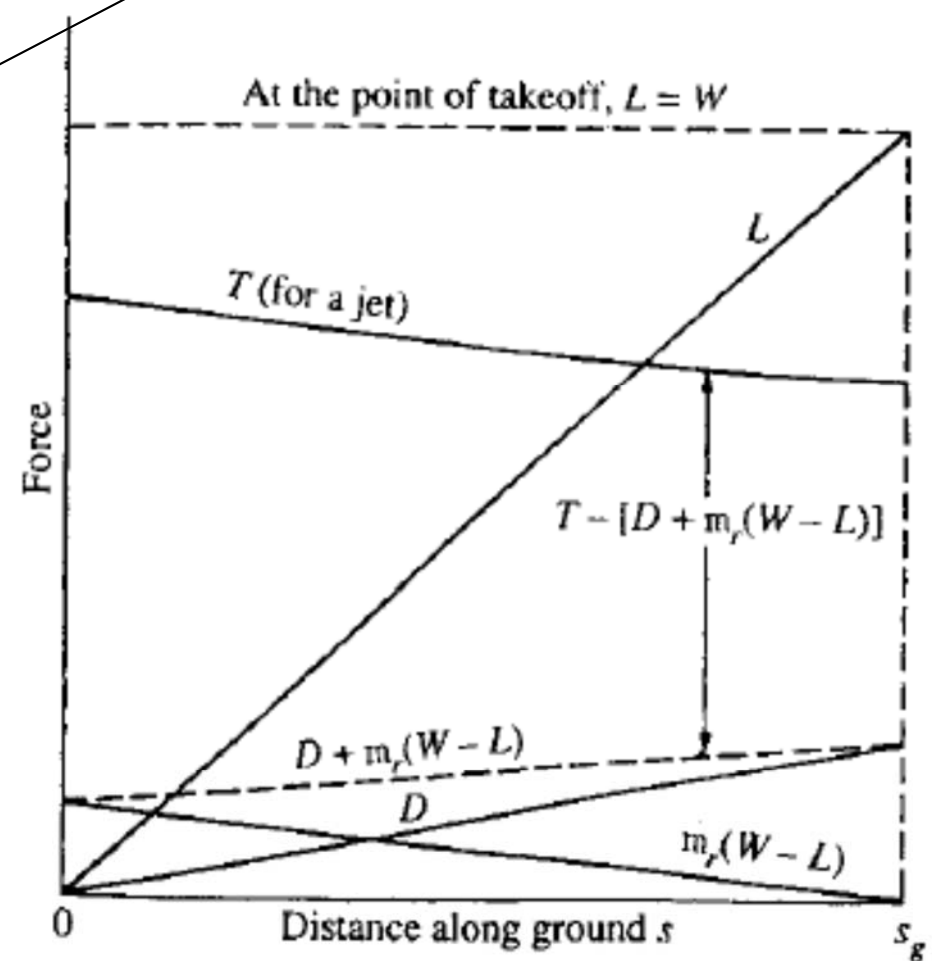


Figure 6.15 Schematic of a typical variation of forces acting on an airplane during takeoff.

Rodadura – distancias de despegue

Método III

- Durante rodadura, las fuerzas que actúan en el avión son el **empuje**, la **resistencia** y la **fricción de rodadura**.
- La aceleración del avión se puede expresar en términos de los coeficientes aerodinámicos, teniendo en cuenta que la sustentación y la resistencia se tiene que evaluar

aceleración

- El efecto suelo con el avión
- Tren de aterrizaje bajado
- Configuración de superficies de despegue.

$$a = \frac{g}{W} [T - D - \mu(W - L)] = g \left[\left(\frac{T}{W} - \mu \right) + \frac{\rho}{2W/S} (-C_{D0} - KC_L^2 + \mu C_L) V^2 \right]$$

- La distancia de despegue se calcula integrando la velocidad dividida por la aceleración

$$S_G = \int_{V_i}^{V_f} \frac{V}{a} dV = \frac{1}{2} \int_{V_i}^{V_f} \frac{1}{a} d(V^2) \quad \longrightarrow \quad S_G = \frac{1}{2g} \int_{V_i}^{V_f} \frac{d(V^2)}{K_T + K_A V^2} = \left(\frac{1}{2gK_A} \right) \ln \left(\frac{K_T + K_A V_f^2}{K_T + K_A V_i^2} \right)$$

- Para simplificar la integración se usa el truco de integrar V^2 .
- La velocidad de despegue tiene que ser $V_{\text{TAKEOFF}} > 1.1 V_{\text{STALL}}$, tomar $1.2 V_{\text{STALL}}$.
- V_{STALL} . Configuración máxima sustentación (Peso despegue).
- Configuración flaps para máximo C_L (conf. despegue).
- Tren de aterrizaje bajado limitará el ángulo de ataque máximo durante despegue y aterrizaje.

$$S_G = \frac{1}{2g} \int_{V_i}^{V_f} \frac{d(V^2)}{K_T + K_A V^2} = \left(\frac{1}{2gK_A} \right) \ln \left(\frac{K_T + K_A V_f^2}{K_T + K_A V_i^2} \right) \quad \text{Componente propulsora} \quad K_T = \left(\frac{T}{W} \right) - \mu$$

$$\text{Componente aerodinámicas} \quad K_A = \frac{\rho}{2(W/S)} (\mu C_L - C_{D0} - KC_L^2)$$

Estimación $C_{L_{max}}$ Despegue - I

- Hay que tener en cuenta en el segmento de rodadura despegue no se puede obtener el $C_{L_{max}}$
 - La incidencia del ala es baja por lo que $C_L \approx 0.1$ a no ser que tenga flaps

$$a = \frac{g}{W} [T - D - \mu(W - L)] = g \left[\left(\frac{T}{W} - \mu \right) + \frac{\rho}{2W/S} (-C_{D_0} - KC_L^2 + \mu C_L) V^2 \right]$$

- Hay que tener también en cuenta la porción del ala que tiene flaps

$$C_{L_{max}} \cong 0.9 \left\{ (C_{l_{max}})_{flapped} \frac{S_{flapped}}{S_{ref}} + (C_l)_{unflapped} \frac{S_{unflapped}}{S_{ref}} \right\}$$

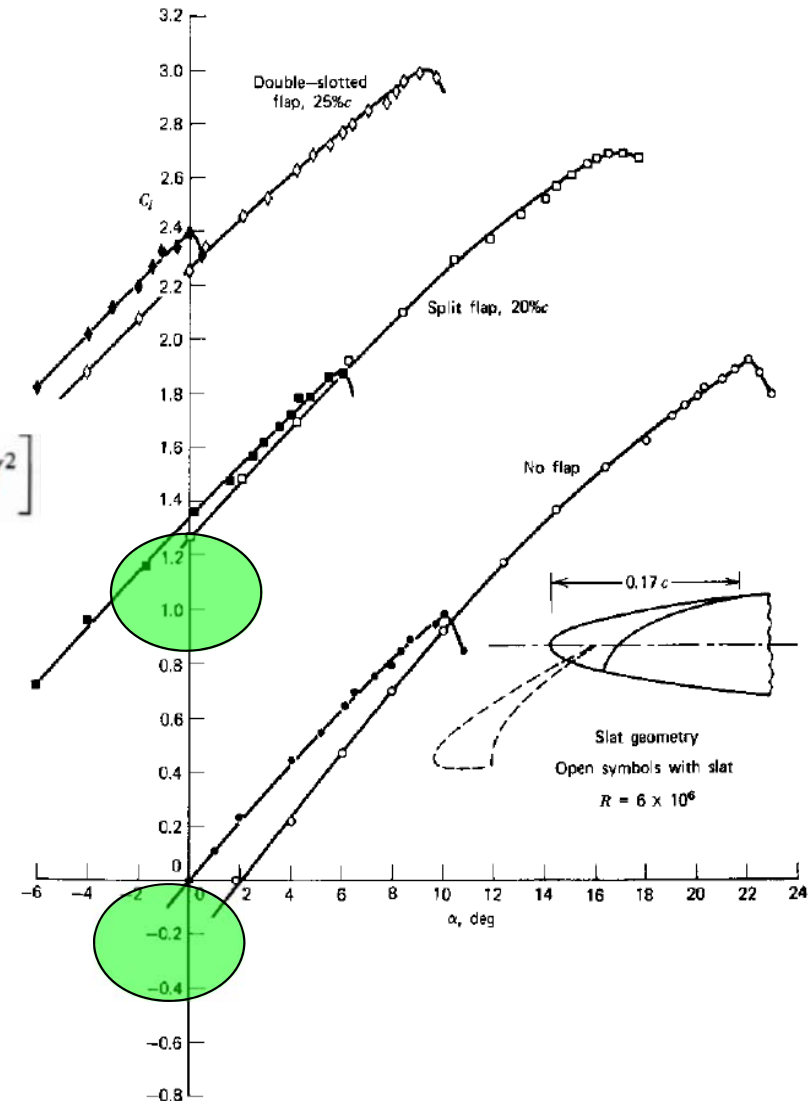


Figure 3.36 Effect of leading edge slat on NACA 64A010 airfoil with and without flaps.

Estimación $C_{L_{max}}$ Despegue - II

$$a = \frac{g}{W} [T - D - F_f] = \frac{g}{W} [T - D - \mu(W_{TO} - L)] \Rightarrow \begin{cases} D = (0.5)\rho V^2 S_{ref} [C_{D0} + \Delta C_{Dflap} + \Delta C_{Dgear} + KC_{LG}^2] \\ L = (0.5)\rho V^2 S_{ref} C_{LG} \end{cases}$$

Landing gear drag coeff
 \downarrow
 ΔC_{Dgear}
 \downarrow
 $K C_{LG}^2$
 \downarrow
 C_{LG} Ground Roll

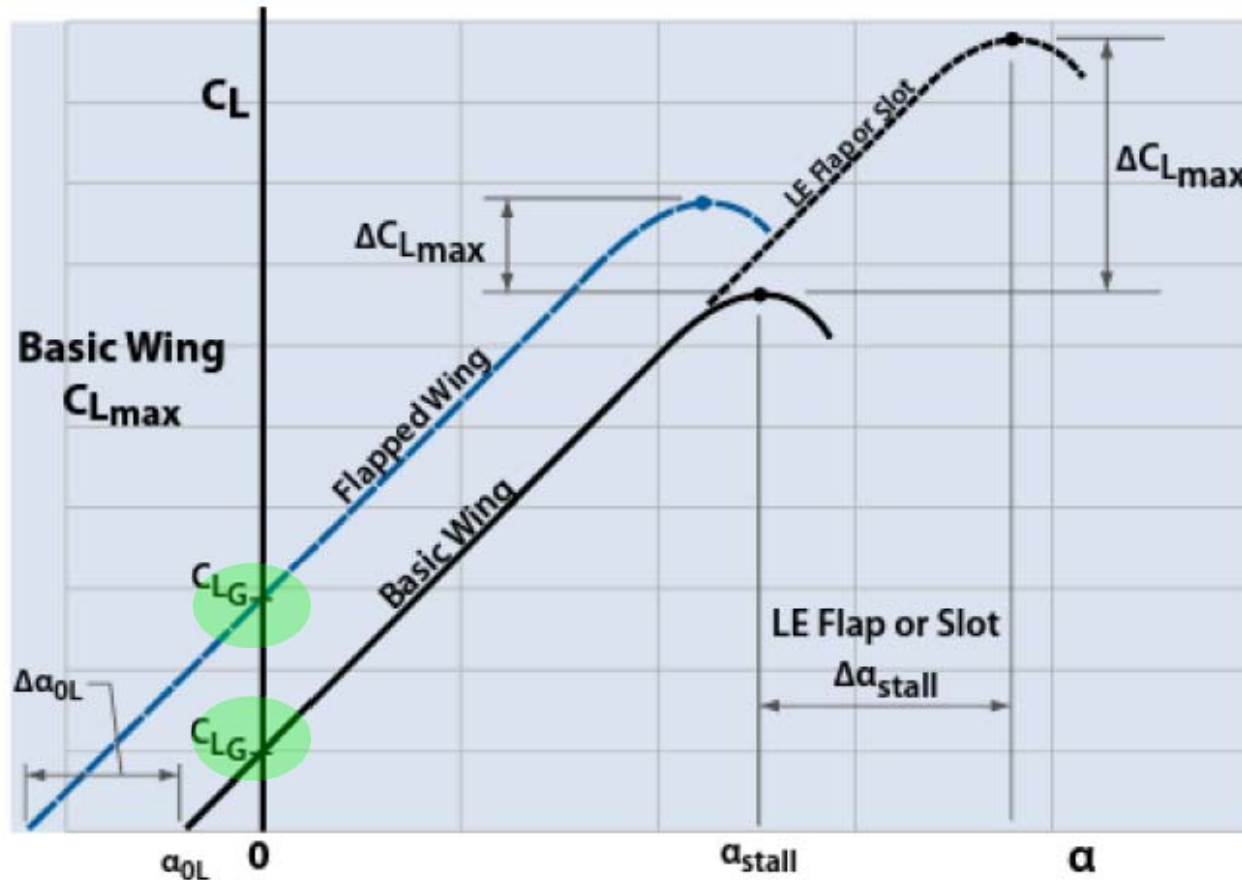


Figure 9.22 Construction of wing lift curves for mechanical high-lift devices.

Estimación $C_{L_{max}}$ Despegue - III

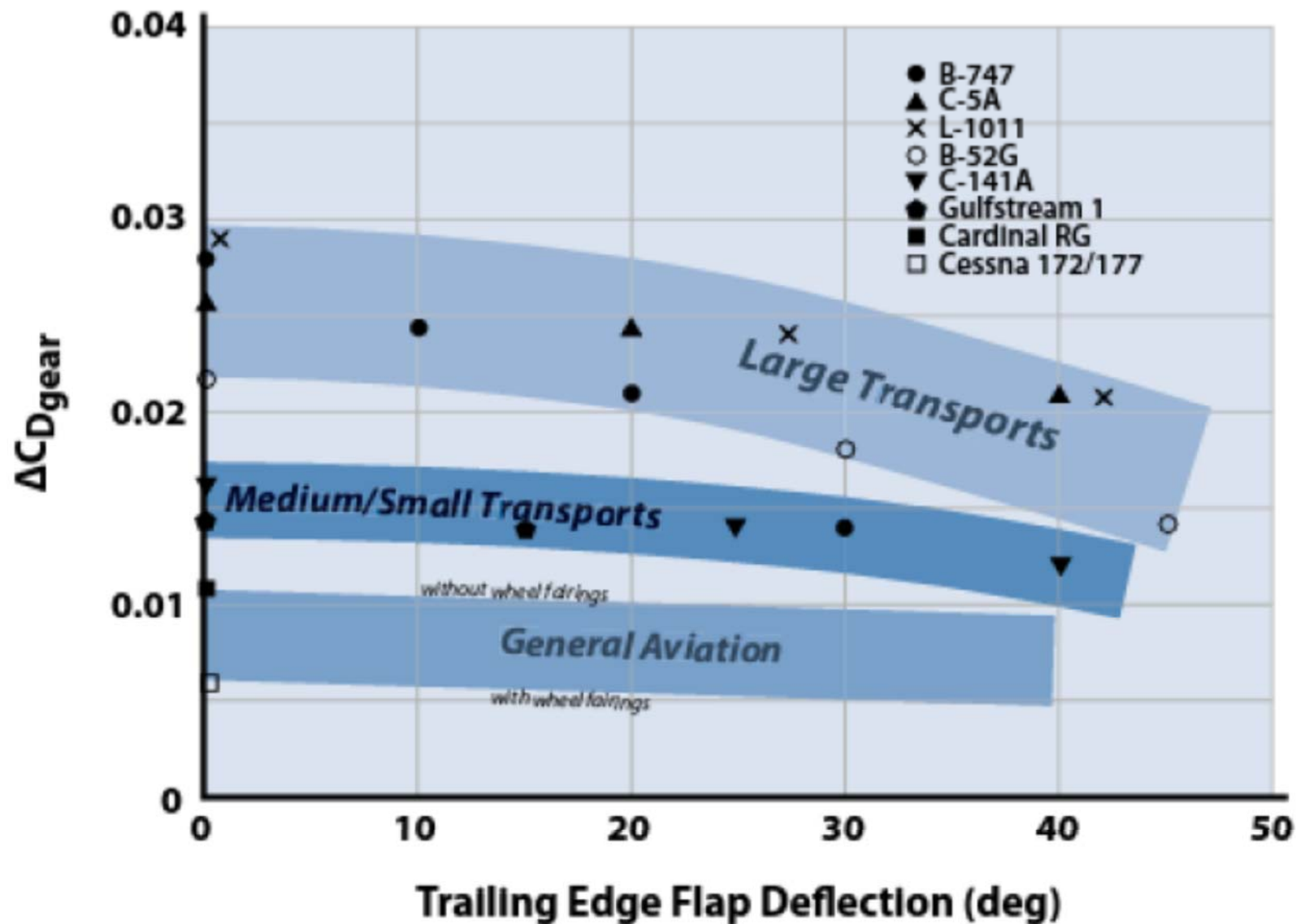


Figure 10.5 Drag of landing gear.

Estimación $C_{L_{max}}$ Despegue - IV

Table 10.4 Landing Gear Drag Coefficients

Aircraft	Reference Area (ft ²)	$\Delta C_{D_{gear}}$	Landing Gear Configuration ^a
Fighters			
A-7	375	0.028	Two-wheel NLG, two one-wheel MLG
F-104	196	0.035	One-wheel NLG, two one-wheel MLG
F-16A1B	300	0.0325	One-wheel NLG, two one-wheel MLG
F-22	840	0.014	One-wheel NLG, two one-wheel MLG
U-2S	1000	0.0045	One dual-wheel MLG, large tail wheel, and two wingtip pogo
Large transports			
L-1011	3456	0.028–0.0205	Two-wheel NLG, two four-wheel trucks MLG
C-5A	6200	0.0257–0.021	Four-wheel NLG, four four-wheel trucks MLG
B-747	5500	0.028–0.014	Two-wheel NLG, four four-wheel trucks MLG
B-52G	4000	0.024–0.0155	Quadricycle with wingtip gear, four dual-wheel MLG

Estimación $C_{L_{max}}$ Despegue - V

Medium transports			
P-3	1300	0.020	Two-wheel NLG, two two-wheel MLG
L-1049 Connie	1650	0.024	Two-wheel NLG, two two-wheel MLG
B 727	1650	0.017	Two-wheel NLG, two two-wheel MLG
DC-8	2771	0.012	Two-wheel NLG, two four-wheel trucks MLG
C-141A	3228	0.0165–0.012	Two-wheel NLG, two four-wheel trucks MLG
Small transports			
S-3A	598	0.023	Two-wheel NLG, two one-wheel MLG
Gulfstream I	615	0.015	Two-wheel NLG, two one-wheel MLG
Fokker F-27	754	0.024	One-wheel NLG, two dual-wheel MLG
General aviation			
Cessna 172	226	0.006 ^b	One-wheel NLG, two one-wheel MLG
Cessna 177	174	0.006 ^b	One-wheel NLG, two one-wheel MLG
Cardinal RG	174	0.011	One-wheel NLG, two one-wheel MLG

^aAbbreviations: NLG, nose landing gear; MLG, main landing gear.

^bFixed landing gear with wheel fairings.

Despegue – Jet Airplane - I

Assume that $V_{TO} \approx 0,7 V_R$

$$C_{D_G} = (C_{D_{TO}} - \mu C_{L_{TO}})$$

$$S_{TO} = \frac{1.65W}{\rho g S C_{D_G}} \ln \left[\frac{\frac{T}{W} - \mu}{\frac{T}{W} - \mu - \frac{C_{D_G}}{C_{L_R}}} \right]$$



C_{L_R} aircraft lift coefficient at take-off rotation
 V_R aircraft speed @ rotation $V_R \approx 1.1V_S - 1.3V_S$

$$C_{L_R} = \frac{2mg}{\rho S V_R^2} \quad C_{L_{TO}} = C_{L_C} + \Delta C_{L_{flapTO}}$$

La velocidad de entrada en pérdida (V_S) ha de variar en función de W/S $V_S = \sqrt{\frac{W}{S} \frac{2}{\rho C_{L_{MAX}}}}$

Si no se hace de esta manera, y se fija la velocidad de entrada en pérdida, implica que a medida que aumenta la carga alar, implicaría que el $C_{L_{max}}$ también aumenta, lo que no es deseable
 $C_{L_{MAX}}$ maximum lift coefficient

$C_{L_{TO}}$ aircraft take-off lift coefficient

C_{L_C} aircraft cruise lift coefficient

$\Delta C_{L_{flapTO}}$ additional lift coefficient by flap @ take-off



$$C_{L_C} \approx 0.3$$

$$\Delta C_{L_{flapTO}} \approx 0.3 - 0.8$$

Despegue – Jet Airplane - II

Assume that $V_{TO} \approx 0,7 V_R$

$$C_{D_G} = (C_{D_{TO}} - \mu C_{L_{TO}})$$

$$S_{TO} = \frac{1.65W}{\rho g S C_{D_G}} \ln \left[\frac{\frac{T}{W} - \mu}{\frac{T}{W} - \mu - \frac{C_{D_G}}{C_{L_R}}} \right]$$

C_{L_R} aircraft lift coefficient at take-off rotation
 V_R aircraft speed @ rotation $V_R \approx 1.1V_S - 1.3V_S$

$$C_{L_R} = \frac{2mg}{\rho S V_R^2} \quad C_{L_{TO}} = C_{L_C} + \Delta C_{L_{flapTO}}$$

$$C_{D_{TO}} = C_{D_{oTO}} + KC_{L_{TO}}^2 \Rightarrow C_{D_{oTO}} = C_{D_o} + C_{D_{oLG}} + C_{D_{oHLD_TO}}$$

$C_{D_{oTO}}$ aircraft zero-lift drag coefficient at take-off configuration

C_{D_o} clean-aircraft zero-lift drag coefficient

$C_{D_{oLG}}$ landing gear drag coefficient

$C_{D_{oHLD_TO}}$ high lift device drag coefficient at take-off configuration

$$C_{D_{oLG}} = 0.006 \text{ to } 0.012$$

$$C_{D_{oHLD_TO}} = 0.003 \text{ to } 0.008$$

Hay que tener en cuenta que para el cálculo de los parámetros aerodinámicos, la velocidad de despegue (V_{TO}) es un 70% de la velocidad de rotación (V_R). Esto se debe a que como el avión está acelerando desde la velocidad inicial nula, hasta la V_R , se toma la media, la cual se puede demostrar que es aproximadamente $V_{TO}=0.7V_R$.

Despegue – Prop Airplane - I

Assume that $V_{TO} \approx 0,7 V_R$

$$C_{D_G} = (C_{D_{TO}} - \mu C_{L_{TO}})$$

$$S_{TO} = \frac{1.65W}{\rho g S C_{D_G}} \ln \left[\frac{\frac{T}{W} - \mu}{\frac{T}{W} - \mu - \frac{C_{D_G}}{C_{L_R}}} \right]$$



C_{L_R} aircraft lift coefficient at take-off rotation
 V_R aircraft speed @ rotation $V_R \approx 1.1V_S - 1.3V_S$

$$C_{L_R} = \frac{2mg}{\rho S V_R^2} \quad C_{L_{TO}} = C_{L_C} + \Delta C_{L_{flapTO}}$$

La velocidad de entrada en pérdida (V_S) ha de variar en función de W/S $V_S = \sqrt{\frac{W}{S} \frac{2}{\rho C_{L_{MAX}}}}$

Si no se hace de esta manera, y se fija la velocidad de entrada en pérdida, implica que a medida que aumenta la carga alar, implicaría que el $C_{L_{max}}$ también aumenta, lo que no es deseable
 $C_{L_{MAX}}$ maximum lift coefficient

$C_{L_{TO}}$ aircraft take-off lift coefficient

C_{L_C} aircraft cruise lift coefficient

$\Delta C_{L_{flapTO}}$ additional lift coefficient by flap @ take-off



$$C_{L_C} \approx 0.3$$

$$\Delta C_{L_{flapTO}} \approx 0.3 - 0.8$$

Despegue – Prop Airplane - II

Assume that $V_{TO} \approx 0,7 V_R$

$$C_{D_G} = (C_{D_{TO}} - \mu C_{L_{TO}})$$

$$S_{TO} = \frac{1.65W}{\rho g S C_{D_G}} \ln \left[\frac{\frac{T}{W} - \mu}{\frac{T}{W} - \mu - \frac{C_{D_G}}{C_{L_R}}} \right]$$

C_{L_R} aircraft lift coefficient at take-off rotation
 V_R aircraft speed @ rotation $V_R \approx 1.1V_S - 1.3V_S$

$$C_{L_R} = \frac{2mg}{\rho S V_R^2} \quad C_{L_{TO}} = C_{L_C} + \Delta C_{L_{flapTO}}$$

$$C_{D_{TO}} = C_{D_{oTO}} + KC_{L_{TO}}^2 \Rightarrow C_{D_{oTO}} = C_{D_o} + C_{D_{oLG}} + C_{D_{oHLD_TO}}$$

$C_{D_{oTO}}$ aircraft zero-lift drag coefficient at take-off configuration

C_{D_o} clean-aircraft zero-lift drag coefficient

$C_{D_{oLG}}$ landing gear drag coefficient

$C_{D_{oHLD_TO}}$ high lift device drag coefficient at take-off configuration

$$C_{D_{oLG}} = 0.006 \text{ to } 0.012$$

$$C_{D_{oHLD_TO}} = 0.003 \text{ to } 0.008$$

Hay que tener en cuenta que para el cálculo de los parámetros aerodinámicos, la velocidad de despegue (V_{TO}) es un 70% de la velocidad de rotación (V_R). Esto se debe a que como el avión está acelerando desde la velocidad inicial nula, hasta la V_R , se toma la media, la cual se puede demostrar que es aproximadamente $V_{TO} = 0.7V_R$.

Despegue - III

No	Aircraft type	C_{D_0}
1	Jet transport	0.015 – 0.02
2	Turboprop transport	0.018 – 0.024
3	Twin-engine piston prop	0.022 – 0.028
4	Small GA with retractable landing gear	0.02 – 0.03
5	Small GA with fixed landing gear	0.025 – 0.04
6	Agricultural	0.04 – 0.07
7	Sailplane/Glider	0.012 – 0.015
8	Supersonic fighter	0.018 – 0.035
9	Homebuilt	0.025 – 0.04
10	Microlight	0.02 – 0.035

Table 4.12. Typical values of C_{D_0} for different types of aircraft

No	Surface	Friction coefficient (μ)
1	Dry concrete/asphalt	0.03-0.05
2	Wet concrete/asphalt	0.05
3	Icy concrete/asphalt	0.02
4	Turf	0.04-0.07
5	Grass	0.05-0.1
6	Soft ground	0.1-0.3

Table 4.15. Friction coefficients for various runway surfaces

Transición - I

- Durante la **transición** el avión **acelera** desde $V_{\text{TAKEOFF}} = 1.1V_{\text{STALL}}$ hasta $V_{\text{CLIMB}} = 1.2V_{\text{STALL}}$.
- La **velocidad media** durante la transición es **aproximadamente** de $V_{\text{TR}} = 1.15V_{\text{STALL}}$.
- El coeficiente de sustentación media durante toda la maniobra de transición se suele aproximar como el **90%** del coeficiente para **máxima sustentación** con **flaps bajados**.
- La velocidad vertical media $f(n)$:

$$n = \frac{L}{W} = \frac{\frac{1}{2}\rho S(0.9 C_{L_{\max}})(1.15 V_{\text{stall}})^2}{\frac{1}{2}\rho S C_{L_{\max}} V_{\text{stall}}^2} = 1.2 \quad \longrightarrow \quad n = 1.0 + \frac{V_{\text{TR}}^2}{Rg} = 1.2 \quad \text{Velocidad de transición}$$

- El ángulo de subida al final del arco de la trayectoria de transición:

$$\sin \gamma_{\text{climb}} = \frac{T - D}{W} \cong \frac{T}{W} - \frac{1}{L/D}$$

$$S_T = R \sin \gamma_{\text{climb}} = R \left(\frac{T - D}{W} \right) \cong R \left(\frac{T}{W} - \frac{1}{L/D} \right)$$

$$h_{\text{TR}} = R(1 - \cos \gamma_{\text{climb}})$$

Si la distancia de obstáculo es solventada antes de que termine el segmento de transición entonces

$$S_T = \sqrt{R^2 - (R - h_{\text{TR}})^2}$$

$$R = \frac{V_{\text{TR}}^2}{g(n-1)} = \frac{V_{\text{TR}}^2}{0.2g}$$

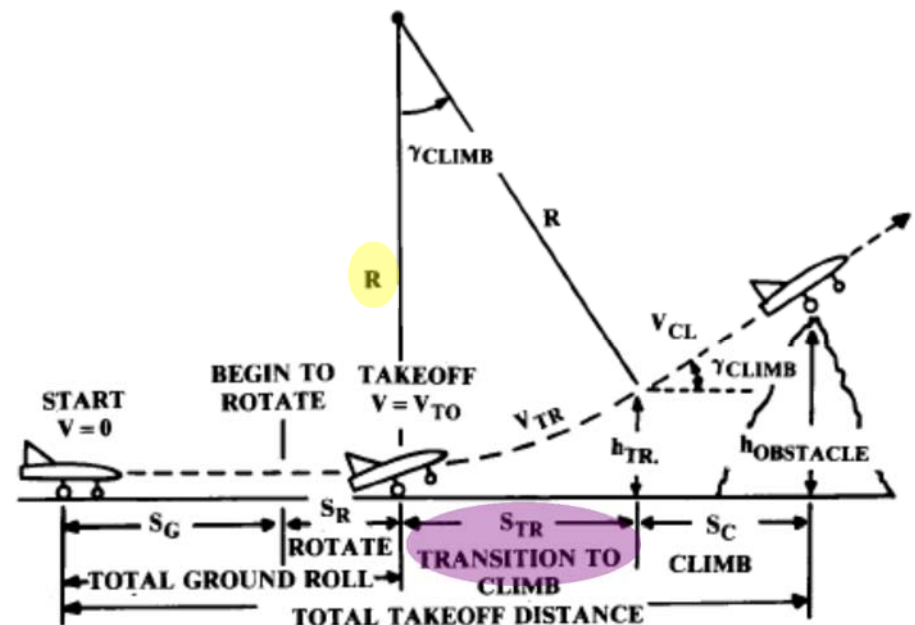


Fig. 17.17 Takeoff analysis.

$$S_G = \frac{1}{2g} \int_{V_i}^{V_f} \frac{d(V^2)}{K_T + K_A V^2} = \left(\frac{1}{2gK_A} \right) \ln \left(\frac{K_T + K_A V_f^2}{K_T + K_A V_i^2} \right)$$

$$\sin \gamma_{\text{climb}} = \frac{T - D}{W} \approx \frac{T}{W} - \frac{1}{L/D}$$

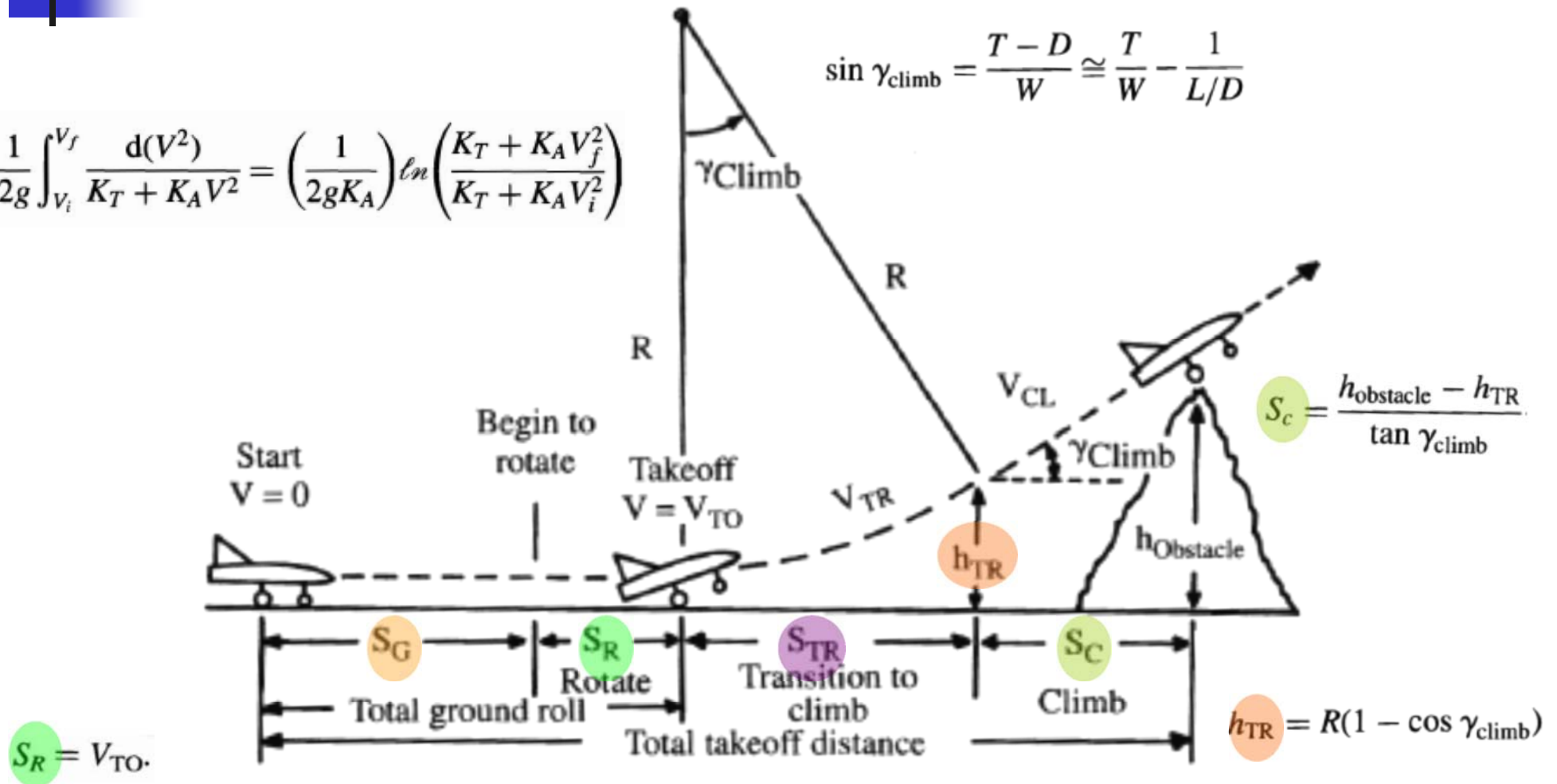
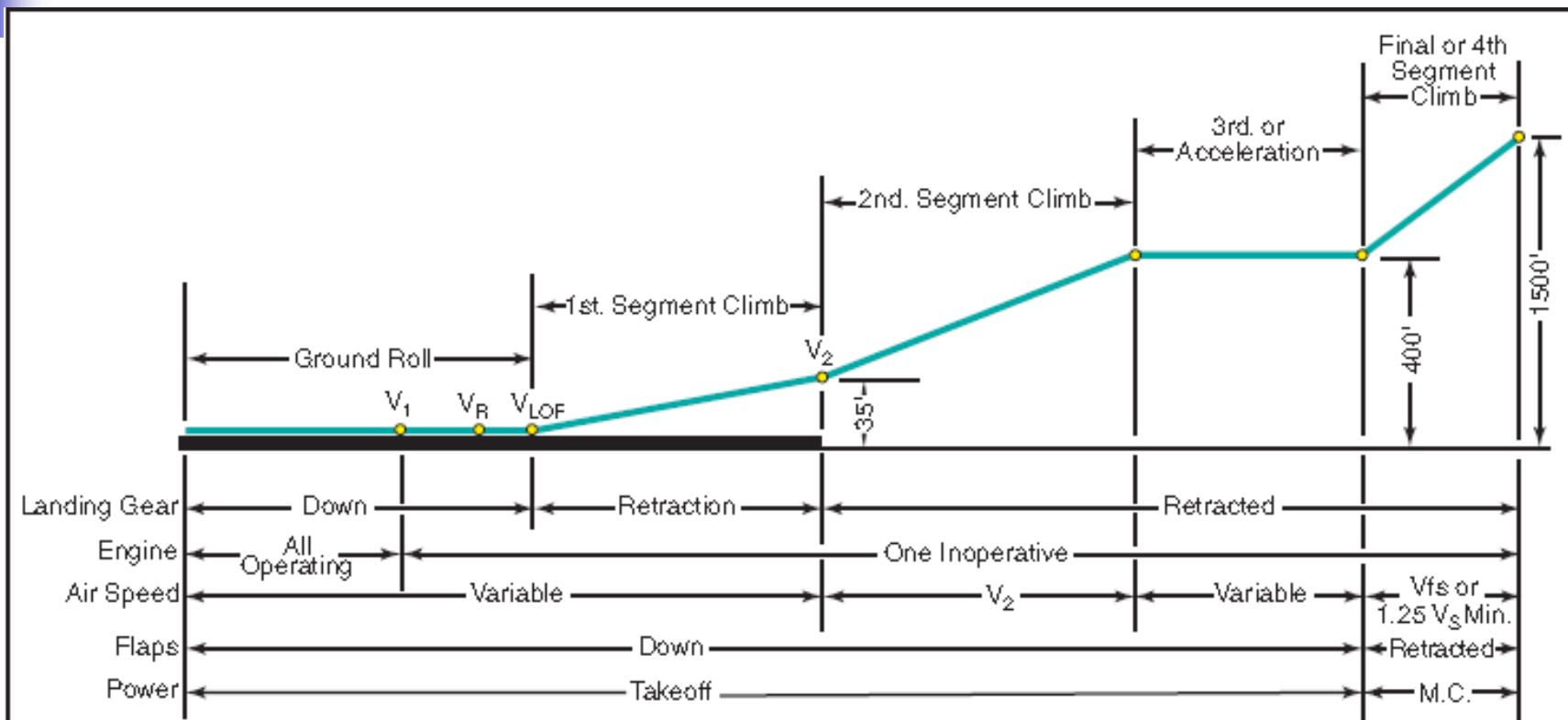


Fig. 17.18 Takeoff analysis.

$$S_T = R \sin \gamma_{\text{climb}} = R \left(\frac{T - D}{W} \right) \approx R \left(\frac{T}{W} - \frac{1}{L/D} \right)$$

$$S_T = \sqrt{R^2 - (R - h_{TR})^2}$$

One-engine inoperative takeoff flightpath (OEI)



Items	1st. T/O Segment	2nd. T/O Segment	Transition (Acceleration)	Final T/O Segment
* 2 Engine	Positive	2.4%	Positive	1.2%
3 Engine	3.0%	2.7%	Positive	1.5%
4 Engine	5.0%	3.0%	Positive	1.7%
Wing Flaps	T.O.	T.O.	T.O.	Up
Landing Gear	Down	Up	Up	Up
Engines	1 Out	1 Out	1 Out	1 Out
Power	T.O.	T.O.	T.O.	M.C.
Air Speed	$V_{LOF} \rightarrow V_2$	V_2	$V_2 \rightarrow 1.25 V_S$ (Min)	$1.25 V_S$ (Min)

* Required Absolute Minimum Gradient of Flight Path

- M.C. = Maximum Continuous
- V_1 = Critical-Engine-Failure Speed
- V_2 = Takeoff Safety Speed
- V_S = Calibrated Stalling Speed, or min. steady flight speed at which the airplane is controllable
- V_R = Speed at which airplane can start safely raising nose wheel off surface (Rotational Speed)
- V_{LOF} = Speed at point where airplane lifts off

Transición - II

- ¿Que pasa si se nos disparan las distancias de despegue?
 - Identificar si se han cubiertos los requisitos de distancias de despegue, cuando se cumplen los requisitos de distancia vertical

Calcular R $\Rightarrow R = \frac{V_{TR}^2}{g(n-1)} = \frac{V_{TR}^2}{0.2g}$

Calcular h_{TR} $\Rightarrow h_{TR} = R(1 - \cos \gamma_{climb})$

Si $h_{TR} \gg 35$ ft \rightarrow dos posible situaciones \Rightarrow n Factor de carga muy bajo
 γ_{CLIMB} Ángulo de asentamiento de velocidad muy pronunciado

Maneras a proceder \Rightarrow Aumentar n
 Disminuir γ_{CLIMB}

Cálculo de requisitos de n

$$h_{TR}^* = 35 \text{ ft}$$

$$R = \frac{h_{TR}^*}{1 - \cos \gamma_{CLIMB}} \Rightarrow n = 1.0 + \frac{V_{TR}^2}{Rg} = 1.2$$

$$\sin \gamma_{climb} = \frac{T - D}{W} \cong \frac{T}{W} - \frac{1}{L/D}$$

Cálculo de distancia horizontal $S_{TR} = R \sin \gamma_{CLIMB}$

Factor de carga aumenta n por lo que hay que asegurarse que no se sobrepasan los límites de maniobra

Mismo procedimiento si se relaja los requisitos de γ_{CLIMB}



Aterrizaje

Aterrizaje - I

- La **maniobra de aterrizaje** es muy similar a la de despegue solo que a la inversa, teniendo en cuenta que:
 - El **peso** de aterrizaje viene **especificado** por los **requisitos** de cada avión para el caso de aterrizaje, y es aproximadamente entre el peso de despegue y el 85% de dicho peso.
 - El peso de **aterrizaje** no puede ser nunca tomado como el **peso** al final del **máximo** alcance, por que en caso de **emergencia implicaría** que habría que **descargar** mucho **combustible** para poder aterrizar de forma segura.
- Se establecen una serie de maniobras:
 - Acercamiento** que empieza **sobrevolando el obstáculo** (50 pies) con **velocidad de acercamiento** de $V_a = 1.3V_{STALL}$ (para militar $V_a = 1.2V_{STALL}$)
 - El **ángulo** de acercamiento se calcula con **empuje** en idle y configuración de **flaps** bajados (D)
 - Para aviones de transporte no debería ser menor de 3 grados

El ángulo de planeo se calcula con empuje en relentí y resistencia con flaps

$$\sin \gamma_{climb} = \frac{T - D}{W} \approx \frac{T}{W} - \frac{L}{D} \quad S_c = \frac{h_{obstacle} - h_{TR}}{\tan \gamma_{climb}}$$

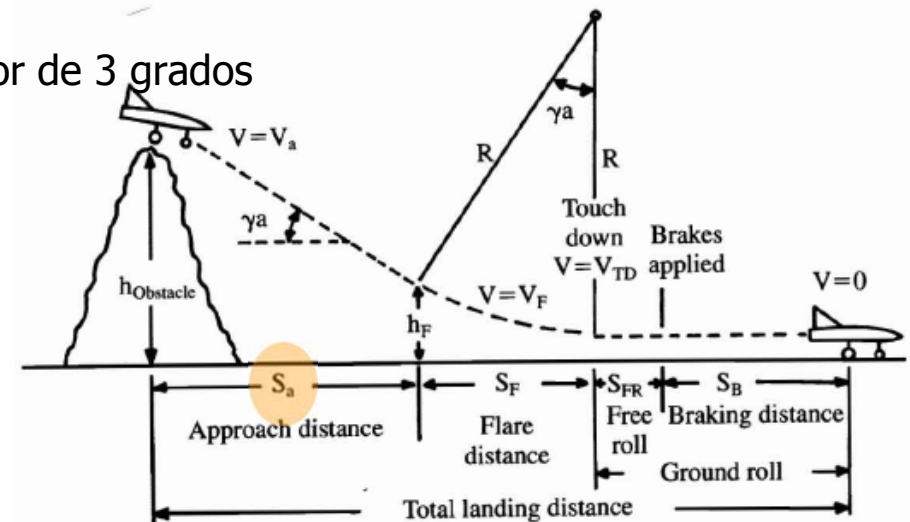


Fig. 17.19 Landing analysis.

Aterrizaje – II - Flare

- Flare: Velocidad de aterrizaje:
 - $V_{TD} = 1.15V_{STALL}$ (para militares $V_{TD} = 1.10V_{STALL}$)
 - El avión decelera desde $V_a =$ hasta $1.15V_{STALL}$ por lo que la velocidad media es:
 - $V_f = 1.23V_{STALL}$ (para militares $V_f = 1.15V_{STALL}$)

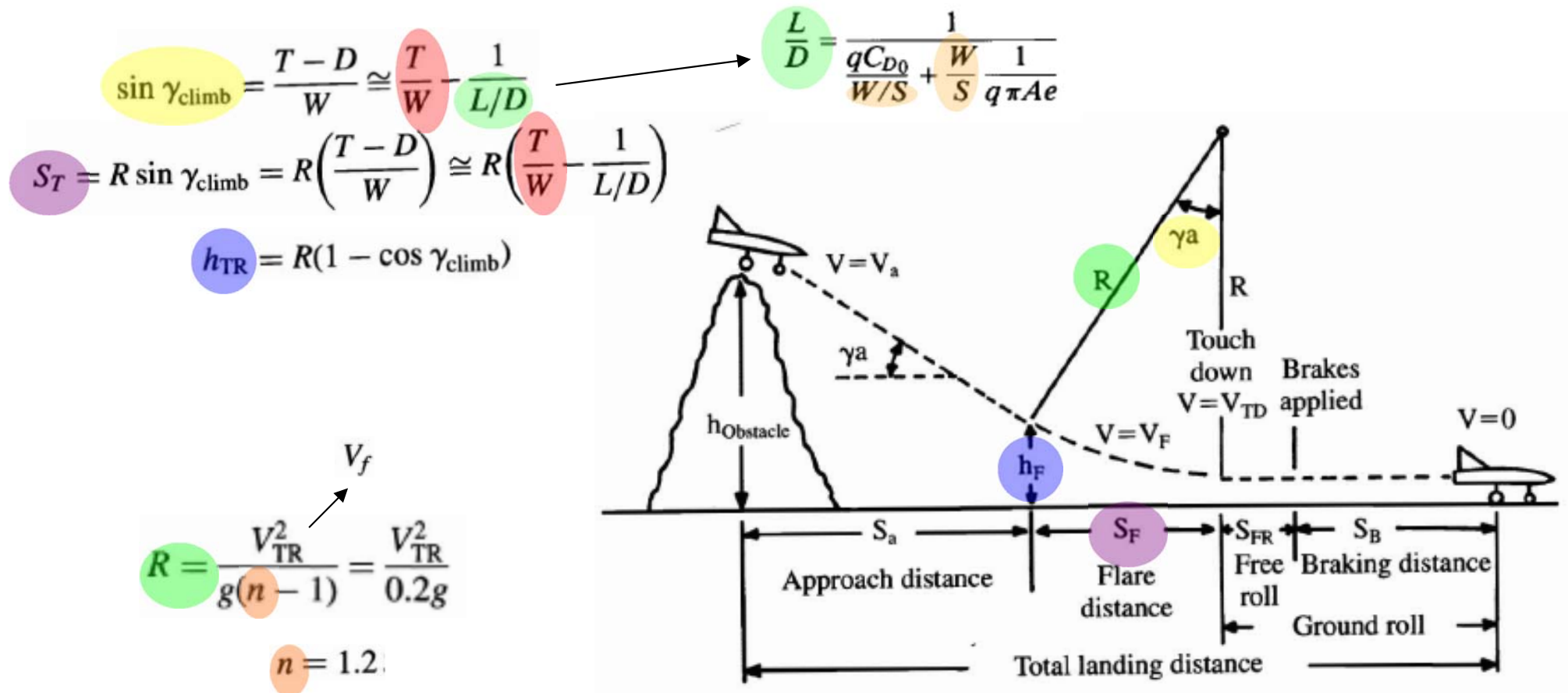


Fig. 17.19 Landing analysis.

Aterrizaje – II - Rodadura

- Rodadura en pista:
 - Dividir el segmento en 2 etapas:
 - Después de la toma de contacto el avión rueda durante varios segundos antes que el piloto aplique frenos: $S_{FR} = V_{TD} \cdot t$
 - Segmento de frenado:
 - coeficiente de fricción ~ 0.5 aviones civiles, 0.3 aviones militares (mirar tabla)
 - Velocidad inicial es V_{TD} ($V_{TD} = 1.15V_{STALL}$ (para militares $V_{TD} = 1.10V_{STALL}$)) y la final es cero.
 - Si hay thrust-reversal, se aproxima con el 40-50% del empuje negativo.
 - No se puede utilizar el thrust-reversal en velocidades bajas (93km/h)
- La FAA requiere que distancia de aterrizaje total sea de $1.666(S\text{-Approach} + S\text{-flare} + S\text{-roll})$

$$S_G = \frac{1}{2g} \int_{V_i}^{V_f} \frac{d(V^2)}{K_T + K_A V^2} = \left(\frac{1}{2gK_A} \right) \ln \left(\frac{K_T + K_A V_f^2}{K_T + K_A V_i^2} \right)$$

iii Cuidado con el signo de K_T y K_A !!!!
(Signo logaritmo)

Componente propulsora $K_T = \left(\frac{T}{W} \right) - \mu$

Componente aerodinámicas

$$K_A = \frac{\rho}{2(W/S)} (\mu C_L - C_{D_0} - KC_L^2)$$

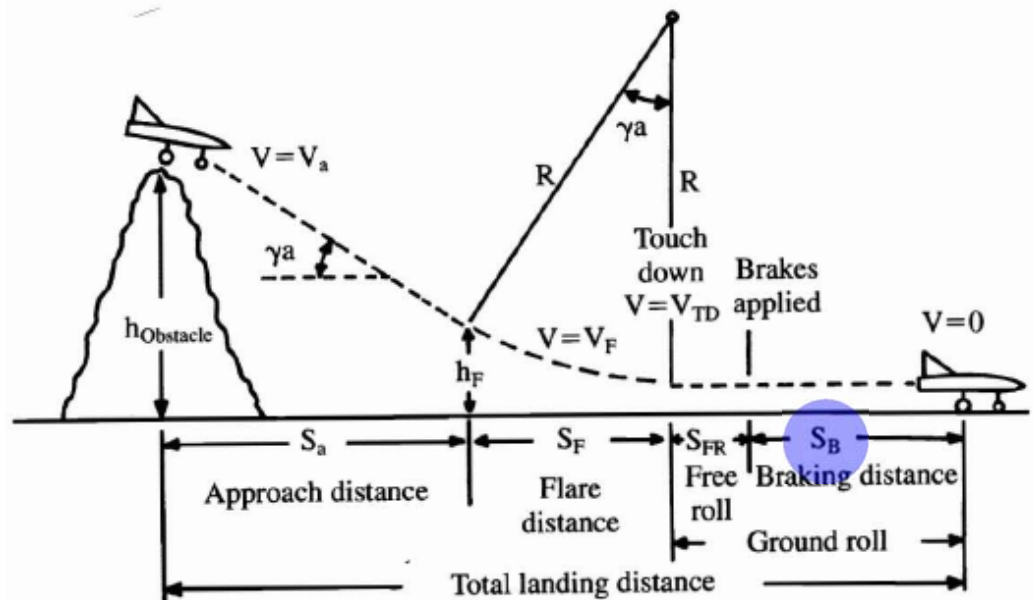


Fig. 17.19 Landing analysis.

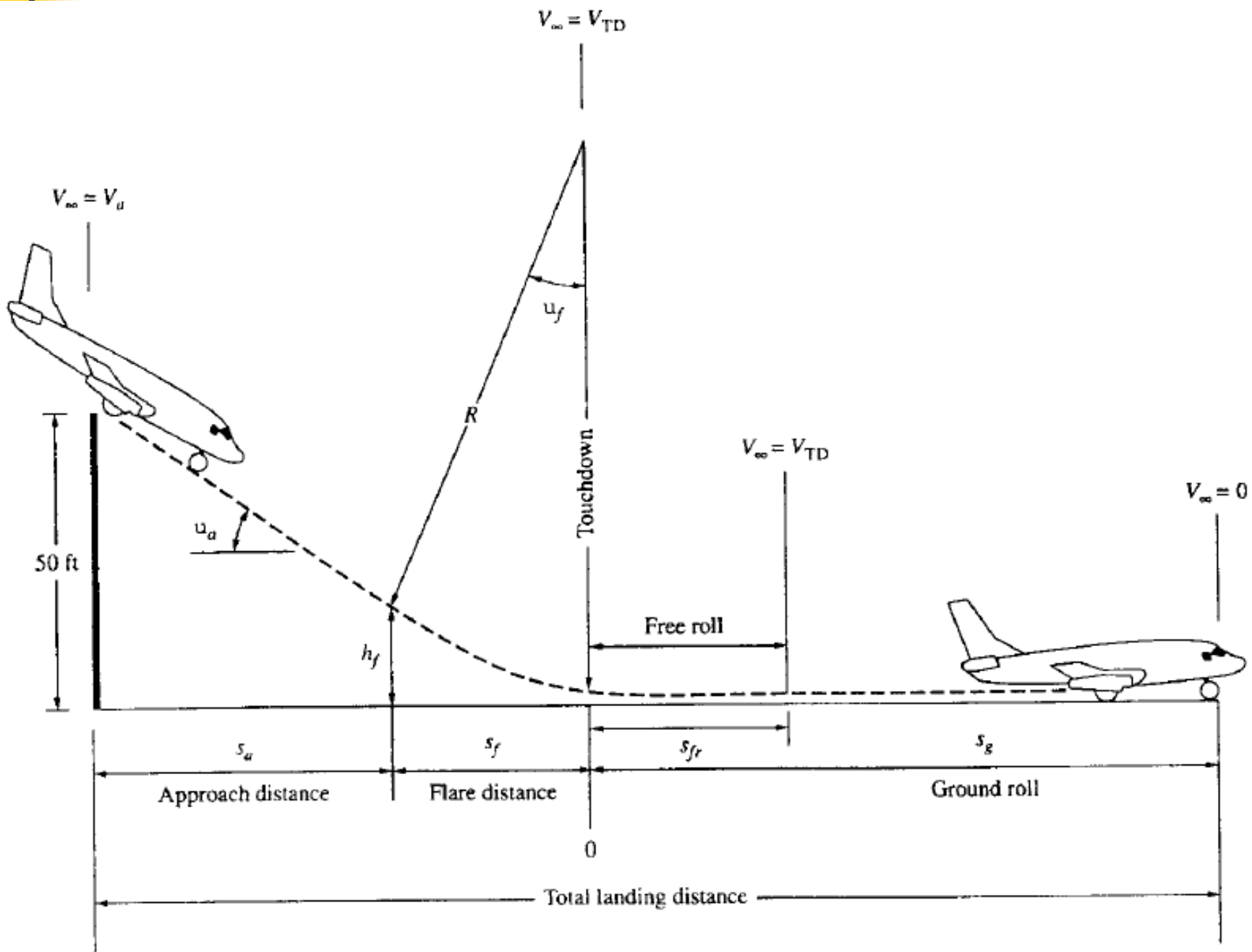


Figure 6.17 The landing path and landing distance.

Aterrizaje – Método Alternativo 1 - I

Distancias de aterrizaje

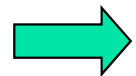
$$T = T_0 - aV^2$$

$$\frac{dV}{dt} = g \left(\frac{T}{W} - \mu \right) - \frac{g}{W} \frac{1}{2} \rho V^2 S (C_D - \mu C_{Lg})$$

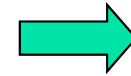
$$\frac{dV}{dt} = g \left(\frac{T_0}{W} - \mu \right) - \frac{g}{W} \left[\frac{1}{2} \rho S (C_D - \mu C_{Lg}) + a \right] V^2$$

$$A = g \left(\frac{T_0}{W} - \mu \right)$$

$$B = \frac{g}{W} \left[\frac{1}{2} \rho S (C_D - \mu C_{Lg}) + a \right]$$



$$dV/dt = A - BV^2$$



$$\int_{t_1}^{t_2} dt = \int_{V_1}^{V_2} \frac{dV}{A - BV^2}$$

$$dS = V dV / (A - BV^2)$$

$$S_2 - S_1 = -\frac{1}{2B} \left[\ln(A - BV_2^2) - \ln(A - BV_C^2) \right] \quad \Rightarrow \quad S_2 - S_1 = \frac{1}{2B} \ln \left[\frac{A - BV_C^2}{A - BV_2^2} \right]$$

$$V_2 = 0, \quad \Rightarrow \quad S = \frac{1}{2B} \ln \left(1 - \frac{B}{A} V_C^2 \right)$$

!!!Cuidado con el signo de A y B!!!!
(Signo logaritmo)

Aterrizaje – Método Alternativo 1 - II

Tiempos de aterrizaje

$$\frac{dV}{dt} = A - BV^2 \quad \longrightarrow \quad t_2 - t_1 = \int_{V_1}^{V_2} \frac{dV}{A - BV^2}$$

$$A = g \left(\frac{T_0}{W} - \mu \right)$$

$$B = \frac{g}{W} \left[\frac{1}{2} \rho S (C_D - \mu C_{Lg}) + a \right]$$

4 posibles combinaciones en función de la relación entre A y B

$$1. \quad A > 0, B > 0 : t_2 - t_1 = \frac{1}{2\sqrt{AB}} \ln \left[\frac{\sqrt{A} + V\sqrt{B}}{\sqrt{A} - V\sqrt{B}} \right]$$

$$2. \quad A > 0, B < 0 : t_2 - t_1 = \frac{1}{\sqrt{-AB}} \tan^{-1} \left(V \sqrt{\frac{-B}{A}} \right)$$

$$3. \quad A < 0, B > 0 : t_2 - t_1 = \frac{1}{\sqrt{-AB}} \tan^{-1} \left(V \sqrt{\frac{B}{-A}} \right)$$

$$4. \quad A < 0, B < 0 : t_2 - t_1 = \frac{1}{2\sqrt{AB}} \ln \left[\frac{V\sqrt{-B} - \sqrt{-A}}{V\sqrt{-B} + \sqrt{-A}} \right]$$

Aterrizaje – Método Alternativo 2 - I

$$m \frac{dV_\infty}{dt} = T - D - \mu_r(W - L) \quad \longrightarrow \quad T = 0, \quad \longrightarrow \quad m \frac{dV_\infty}{dt} = -D - \mu_r(W - L)$$

Thrust Reversal – 40% 50%

$$m \frac{dV_\infty}{dt} = -T_{\text{rev}} - D - \mu_r(W - L)$$

Modelo de resistencia (efecto suelo)

$$C_D = C_{D,0} + \Delta C_{D,0} + (k_1 + Gk_3) C_L^2$$

Altura del ala por encima del suelo

$$\frac{C_{D_i} \text{ (in-ground effect)}}{C_{D_i} \text{ (out-of-ground effect)}} \equiv G = \frac{(16h/b)^2}{1 + (16h/b)^2}$$

envergadura

Resistencia adicional por flaps

$$\Delta C_{D,0} = \frac{W}{S} K_{uc} m^{-0.215} \quad k_1 = \frac{1}{3} k_3 \quad k_3 = \frac{1}{\pi e A R}$$

$$\begin{aligned} \frac{dV_\infty}{dt} &= -\frac{g}{W} \left[T_{\text{rev}} + \frac{1}{2} \rho_\infty V_\infty^2 S C_D + \mu_r \left(W - \frac{1}{2} \rho_\infty V_\infty^2 S C_L \right) \right] \\ &= -g \left[\frac{T_{\text{rev}}}{W} + \mu_r + \frac{\rho_\infty}{2(W/S)} (C_D - \mu_r C_L) V_\infty^2 \right] \\ &= -g \left\{ \frac{T_{\text{rev}}}{W} + \mu_r + \frac{\rho_\infty}{2(W/S)} \left[C_{D,0} + \Delta C_{D,0} + \left(k_1 + \frac{G}{\pi e A R} \right) C_L^2 - \mu_r C_L \right] V_\infty^2 \right\} \end{aligned}$$

Aterrizaje – Método Alternativo 2 - II

$$\begin{aligned}\frac{dV_\infty}{dt} &= -\frac{g}{W} \left[T_{\text{rev}} + \frac{1}{2} \rho_\infty V_\infty^2 S C_D + \mu_r \left(W - \frac{1}{2} \rho_\infty V_\infty^2 S C_L \right) \right] \\ &= -g \left[\frac{T_{\text{rev}}}{W} + \mu_r + \frac{\rho_\infty}{2(W/S)} (C_D - \mu_r C_L) V_\infty^2 \right] \\ &= -g \left\{ \frac{T_{\text{rev}}}{W} + \mu_r + \frac{\rho_\infty}{2(W/S)} \left[C_{D,0} + \Delta C_{D,0} + \left(k_1 + \frac{G}{\pi e AR} \right) C_L^2 - \mu_r C_L \right] V_\infty^2 \right\}\end{aligned}$$

$$\frac{dV_\infty}{dt} = -g (J_T + J_A V_\infty^2)$$

↓

$$ds = \frac{V_\infty dV_\infty}{dV_\infty/dt} = \frac{d(V_\infty^2)}{2(dV_\infty/dt)} \quad \longrightarrow \quad ds = \frac{d(V_\infty^2)}{2(dV_\infty/dt)} = -\frac{d(V_\infty^2)}{2g (J_T + J_A V_\infty^2)}$$

$$J_T \equiv \frac{T_{\text{rev}}}{W} + \mu_r$$

$$J_A \equiv \frac{\rho_\infty}{2(W/S)} \left[C_{D,0} + \Delta C_{D,0} + \left(k_1 + \frac{G}{\pi e AR} \right) C_L^2 - \mu_r C_L \right]$$

Aterrizaje – Método Alternativo 2 - III

Selección

$$\int_{s_{fr}}^{s_g} ds = - \int_{V_{TD}}^0 \frac{d(V_{\infty}^2)}{2g(J_T + J_A V_{\infty}^2)}$$

free roll

$$s_g - s_{fr} = \int_0^{V_{TD}} \frac{d(V_{\infty}^2)}{2g(J_T + J_A V_{\infty}^2)}$$

Ground roll

$$s_g - s_{fr} = \frac{1}{2gJ_A} \ln \left(1 + \frac{J_A}{J_T} V_{TD}^2 \right)$$

$$s_{fr} = N V_{TD}$$

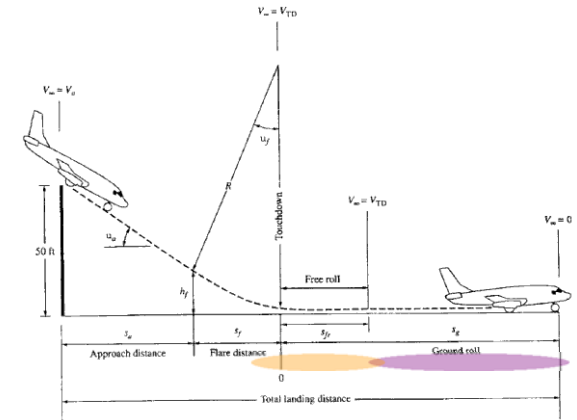


Figure 6.17 The landing path and landing distance.

Aproximación

$N = 1$ for small aircraft

$N = 3$ for large

$$s_g = N V_{TD} + \frac{1}{2gJ_A} \ln \left(1 + \frac{J_A}{J_T} V_{TD}^2 \right)$$

$$s_g = N V_{TD} + \frac{W}{2g} \int_0^{V_{TD}} \frac{d(V_{\infty}^2)}{T_{rev} + D + \mu_r(W - L)}$$

$$s_g = N V_{TD} + \frac{W V_{TD}^2}{2g} \left[\frac{1}{T_{rev} + D + \mu_r(W - L)} \right]_{0.7V_{TD}}$$

$j = 1.15$

$$s_g = jN \sqrt{\frac{2W}{\rho_{\infty} S} \frac{1}{(C_L)_{max}}} + \frac{j^2(W/S)}{8\rho_{\infty}(C_L)_{max} [T_{rev}/W + D/W + \mu_r(1 - L/W)]_{0.7V_{TD}}}$$

$$V_{TD} = 1.15 V_{stall}$$

$$V_{stall} = \sqrt{\frac{2W}{\rho_{\infty} S} \frac{1}{(C_L)_{max}}}$$

Aterrizaje – Método Alternativo 2 - IV

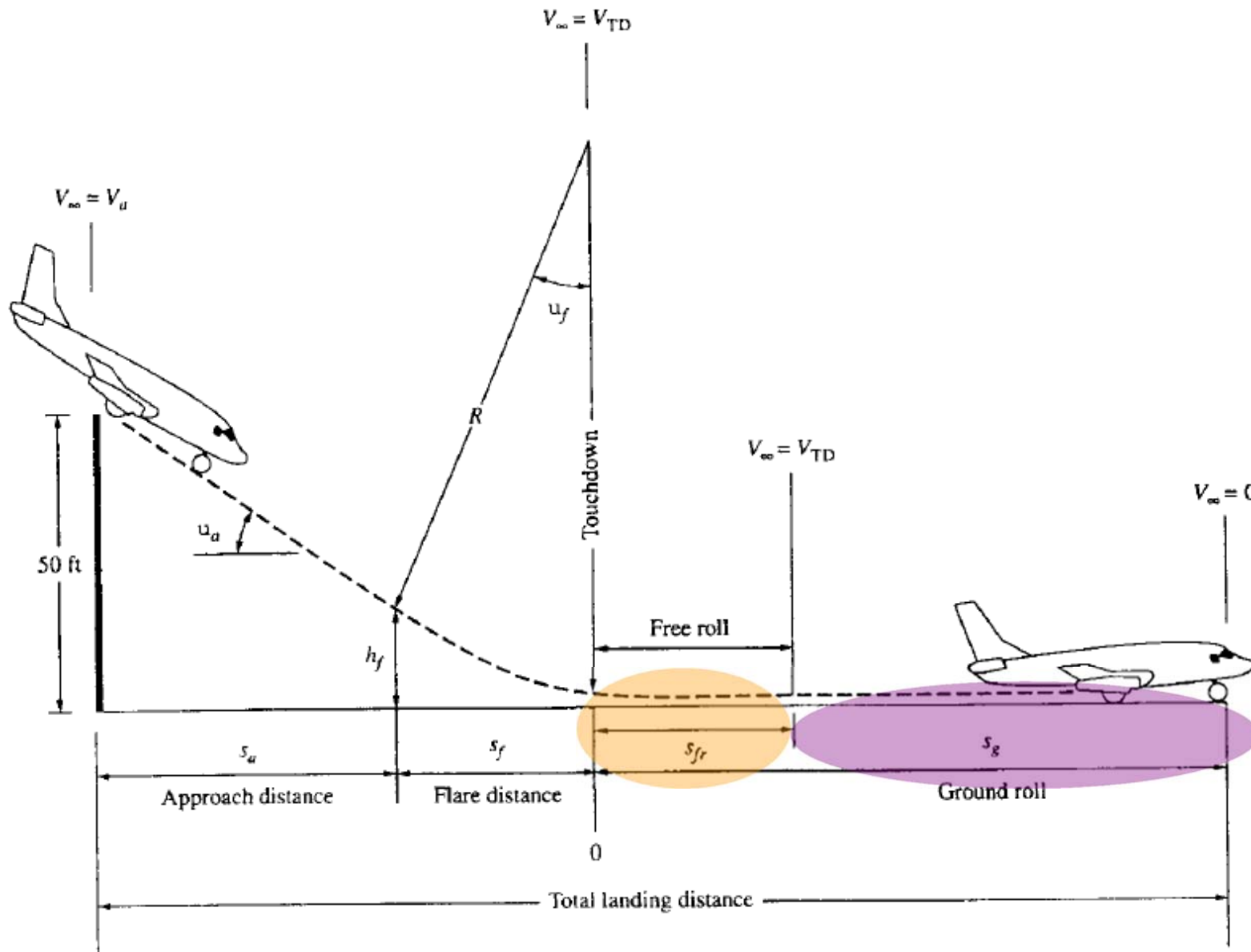


Figure 6.17 The landing path and landing distance.

Aterrizaje – Método Alternativo 2 - V

$$s_g = jN \sqrt{\frac{2 W}{\rho_{\infty} S} \frac{1}{(C_L)_{\max}}} + \frac{j^2(W/S)}{g\rho_{\infty}(C_L)_{\max} [T_{\text{rev}}/W + D/W + \mu_r(1 - L/W)]_{0.7V_{TD}}}$$

1. s_g increases with an increase in W/S .
2. s_g decreases with an increase in $(C_L)_{\max}$.
3. s_g decreases with an increase in T_{rev}/W .
4. s_g increases with a decrease in ρ_{∞} .

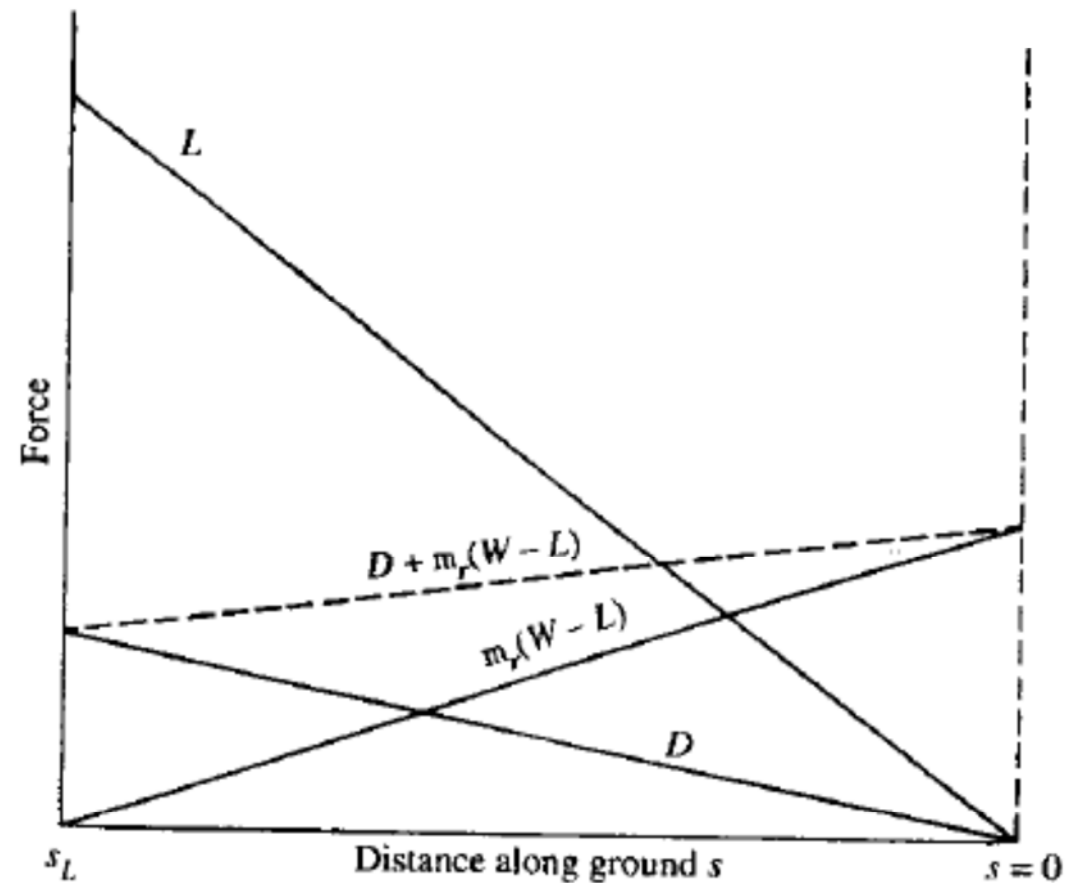


Figure 6.20 Schematic of a typical variation of forces acting on an airplane during landing.



Subida

Introducción – Actuaciones de Subida - 1

- Las actuaciones de subida, aunque supone un **porcentaje pequeño** de vuelo, representan un **segmento primordial** para la operación de las aeronaves.
- En los últimos tiempos se ha dedicado un gran esfuerzo a **minimizar el coste** asociado a la subida ya que el **gasto de combustible** asociado a llevar a un avión a la velocidad y la altura de crucero que optimizan dicha operación, puede ser muy costoso.
 - Tramos de aceleración - deceleración.
 - Aumento de los regímenes de vuelo (altura).
- Las actuaciones en subida se pueden definir mediante **dos enfoques** distintos en las que se consideran diferentes condiciones de operación:
 - **Requisitos de operación** derivados de las **actuaciones deseadas**
 - Velocidad vertical a nivel de mar, configuración limpia, todos los motores operativos.
 - Techo máximo para velocidad de ascenso de 100 m/s^2 , para máxima velocidad vertical de 100 pies/s, configuración limpia, todos los motores operativos o un motor no operativo.
 - **Requisitos de aeronavegabilidad** para asegurar las **actuaciones adecuadas** para condiciones normales y críticas.
 - Gradiente mínimo en varias configuraciones (despegue, crucero y aterrizaje)
 - Un motor inoperativo, o todos los motores operativos.
 - Flaps retraídos o extendidos.
 - Vuelo en la velocidad de diseño o por encima de ella.
 - Velocidad de ascenso para una altura específica

Introducción – Actuaciones de Subida - 2

- Los requisitos de subida se pueden categorizar en cuatro grandes grupos:
 - **Velocidad de subida** manteniendo **velocidad de vuelo constante**.
 - Velocidad de subida **manteniendo velocidad de vuelo óptima** para subida.
 - **Pendiente de subida** (*climb gradient*) a una **velocidad de vuelo constante**.
 - **Climb gradient (%) = Velocidad de subida (fpm)/velocidad de vuelo (knots) (approx)**
 - **Velocidad de subida (climb rate)**
 - **Velocidad de vuelo (airspeed)**
 - Pendiente de subida a una velocidad de vuelo óptima para subida.
- El **Exceso de Potencia Específica** (Specific Excess Power) es una medida de la **potencia disponible** para hacer **subidas, aceleraciones y maniobras** de giro, primordiales para llegar a la altura de crucero a la velocidad y en la dirección correcta, por lo tanto un parámetro muy importante.
- Cuando la subida es constante $n=L/W \approx 1$, SEP es **aproximadamente** igual a la **velocidad de subida** (γ no muy grandes)

$$SEP = \frac{T-D}{W} V = \frac{V}{g} \frac{dV}{dt} + \frac{dh}{dt}$$

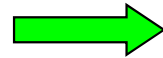
- **SEP** en vuelo **horizontal** es la capacidad del avión para **aumentar** al **energía cinética**, es decir, una medida del tiempo necesario para acelerar de una velocidad a otra.
- SEP en giro horizontal representa la maniobrabilidad y capacidad de aceleración.
- Maniobras y actuaciones de interés:
 - **Ángulo y velocidad vertical óptima.**
 - **Tiempo y combustible de subida.**

Subida - I

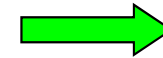
- Subida y Descenso:

- La condición de subida o descenso es $\gamma = \text{constante} \neq 0$
- Factor de carga

$$m \frac{dV}{dt} = \sum F_{x_v},$$
$$m \frac{V^2}{r} = \sum F_{z_v},$$

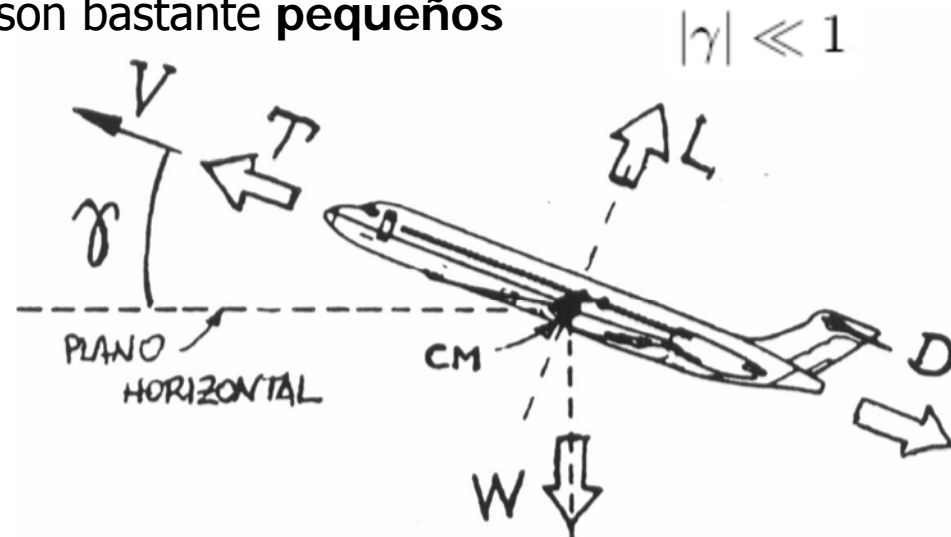


$$L = W \cos \gamma,$$
$$T = D + W \sin \gamma,$$



$$n = \cos \gamma,$$

- El factor de carga $n < 1$.
- Se utiliza la **aproximación del ángulo pequeño** lo cual simplifica notablemente el problema.
- Para el caso de subida y bajada de aviones esto es bastante **común** ya que los **ángulos de subida y bajada** son bastante **pequeños**



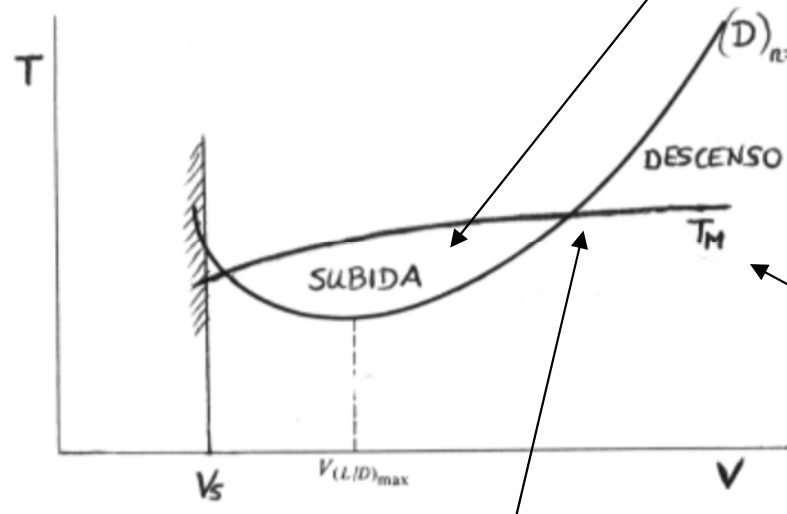
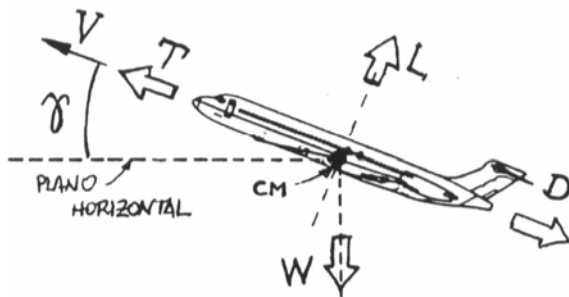
Subida - II

$$|\gamma| \ll 1 \quad \begin{matrix} \rightarrow \\ L = W \cos \gamma, \\ T = D + W \sin \gamma, \end{matrix} \quad \begin{matrix} \rightarrow \\ L \approx W, \\ \gamma \approx \frac{T - D}{W}. \end{matrix} \quad \begin{matrix} \rightarrow \\ \gamma \approx \frac{1}{W} \left[T - \left(\frac{1}{2} \rho V^2 S C_{D_0} + k \frac{2W^2}{\rho V^2 S} \right) \right]. \end{matrix}$$

■ Esta ecuación proporciona:

- un **relación empírica** del **empuje** necesario para **mantener**, a una **altura dada**, una subida uniforme, definida por γ y V
- indica el **valor** de γ para **cada valor** del **empuje** suministrado por el motor, a una velocidad dada:
 - el ángulo de **asiento de velocidad** de un avión es **controlado** mediante el **empuje** de su grupo **motopropulsor**.

el empuje necesario para vuelo horizontal, a una altura dada



el empuje necesario para vuelo horizontal, a una altura dada

el empuje suministrado por el grupo motopropulsor

Variación del empuje con la velocidad

Subida - III

- El vuelo en subida constante se suele medir en distancia vertical subida por minuto (pies o metros por minuto)
- Se suele aproximar medir con el gradiente entre la distancia vertical y la horizontal que el avión a viajado.
 - el gradiente se puede medir mediante el cociente entre la velocidad vertical y la velocidad horizontal del avión, o por tan (γ)

$$\begin{aligned}V_V &= V \sin\gamma \\V_H &= V \cos\gamma \\G = \text{TAN}\gamma &= \frac{V_V}{V_H}\end{aligned}$$

- Los gradientes de subida son solo indicativos para poder entrar en las fórmulas de diseño.
 - Transport
 - Gradiente de subida del 15% para los monomotores
 - Gradiente de subida del 6% para los bimotores con fallo de un motor
 - General Aviation
 - Gradiente de subida del 9 %
- **Se mantendrán los valores de velocidades verticales y gradientes reflejadas en el RFP (son valores mínimos)**

Subida - IV

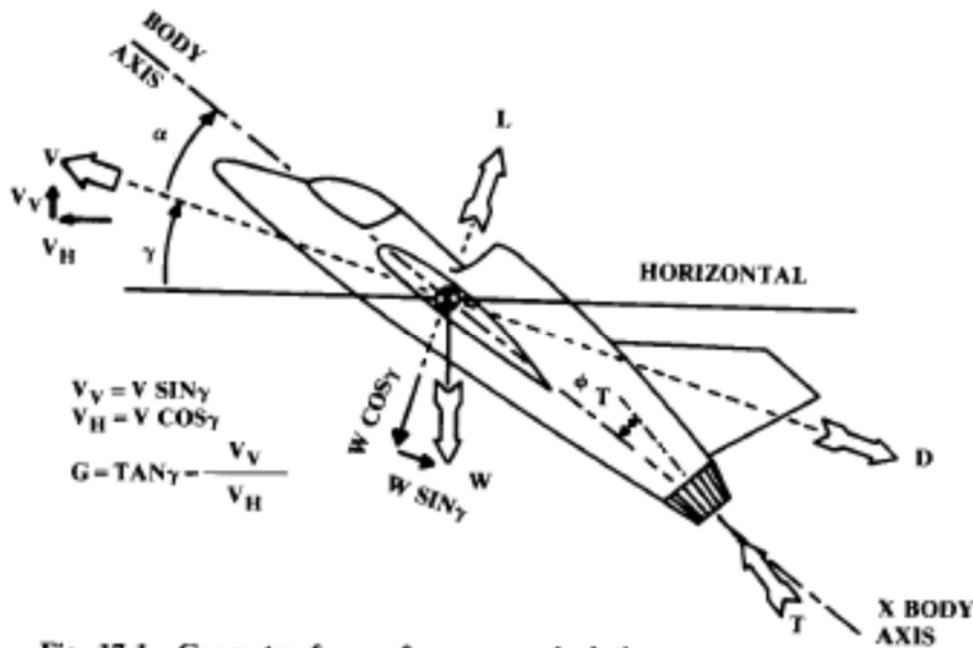


Fig. 17.1 Geometry for performance calculation.

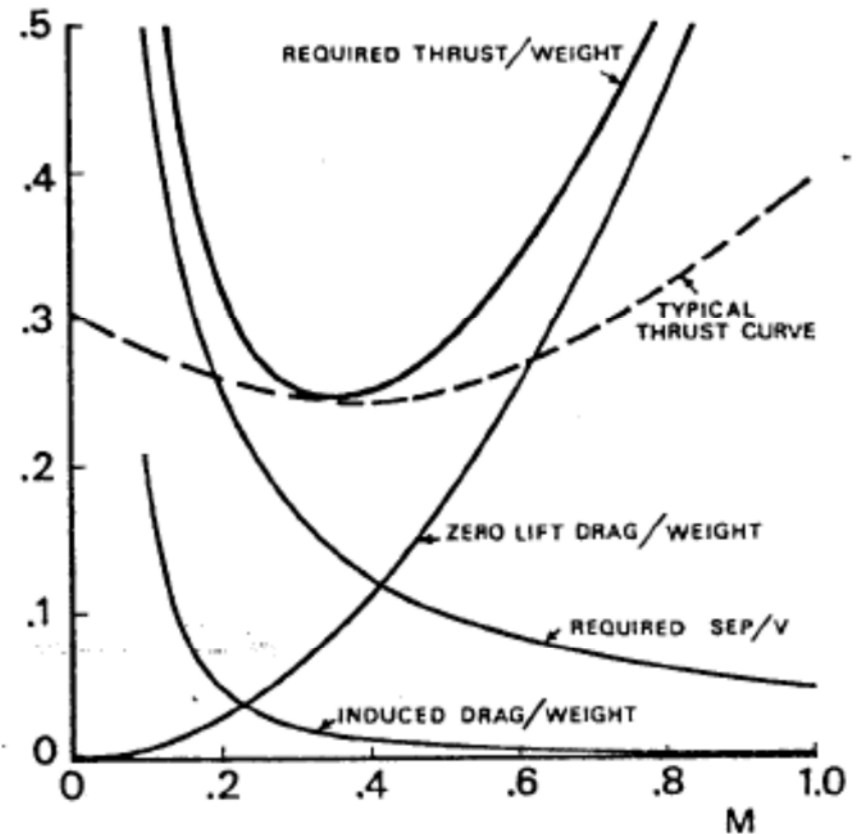


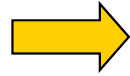
Fig. 5-12. Required thrust in a climb with specified SEP

Subida - V

- Parámetros aerodinámicos:
 - C_{D0} y K se estiman a partir de valores iniciales.
 - 3 niveles de hipótesis
 - Estimaciones preliminares.
 - Valores aproximados.
 - Valores más detallados
 - Estimados a partir de configuración limpia
- Inicialmente se **considera** que la **configuración** más restrictiva en el **segmento** de **subida** es al **principio** del dicho **segmento** por lo que se considera el **peso** de **subida** como el W_0 .
- Se **considera** la **aproximación** de la **velocidad horizontal** en función del **gradiente**
- Para cálculos más precisos del segmento de subida no se empleará el gradiente sino la más restrictiva definida por el RFP que es la velocidad vertical, junto con los “**best angle**” y “**best climb rate**”

Subida - VI

$$\begin{aligned}\Sigma F_x &= T - D - W \sin \gamma \\ \Sigma F_z &= L - W \cos \gamma\end{aligned}$$



$$\begin{aligned}T &= D + W \sin \gamma \\ L &= W \cos \gamma\end{aligned}$$

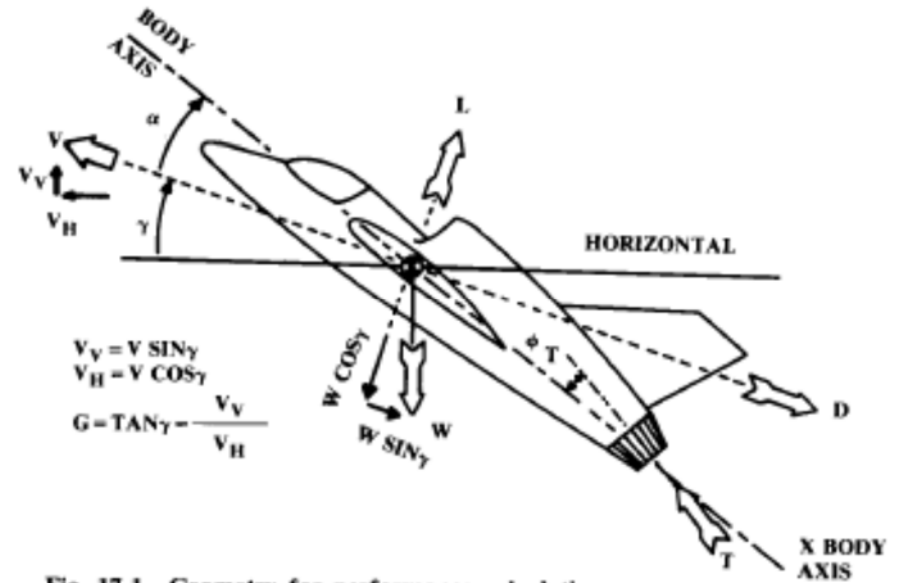


Fig. 17.1 Geometry for performance calculation.

$$\gamma = \sin^{-1} \left(\frac{T - D}{W} \right) = \sin^{-1} \left(\frac{T}{W} - \frac{D}{W} \right) \cong \sin^{-1} \left(\frac{T}{W} - \frac{1}{L/D} \right)$$

Velocidad de ascenso (V_v)

$$V_v = V \sin \gamma = V \left(\frac{T - D}{W} \right) \cong V \left(\frac{T}{W} - \frac{1}{L/D} \right)$$

Velocidad para subida constante – definida en el RFP

Velocidad horizontal (V_h)

$$\begin{aligned}V_v &= V \sin \gamma \\ V_h &= V \cos \gamma \\ G &= \tan \gamma = \frac{V_v}{V_h}\end{aligned}$$

$$V = \sqrt{\frac{2}{\rho C_L} \left(\frac{W}{S} \right) \cos \gamma}$$

$$\frac{L}{D} = \frac{1}{\frac{q C_{D0}}{W/S} + \frac{W}{S} \frac{1}{q \pi A e}}$$

$$\frac{T}{W} = \frac{\cos \gamma}{L/D} + \sin \gamma \cong \frac{1}{L/D} + \sin \gamma = \frac{1}{L/D} + \frac{V_v}{V}$$

Subida - VII

■ Determinación gráfica

- Las dos condiciones que interesan al diseñador son
 - La **mejor velocidad de ascenso**, la cual es la que genera **máxima velocidad vertical**.
 - Subida a altura de crucero en tiempo mínimo.
 - El **mejor ángulo de ascenso**:
 - Produce una **velocidad vertical ligeramente inferior** a la **velocidad de subida óptima**, pero a su vez es capaz de **superar obstáculos verticales en la menor distancia horizontal**.
- Se **determinan gráficamente** los puntos de la curva asociados a la ecuación de la velocidad de ascenso:
 - **Empuje y Resistencia** actuales.
 - La **velocidad máxima de ascenso** es el **valor máximo** de la curva.
 - El **ángulo óptimo** de subida es el **punto de corte** de la **tangente** desde el origen de la gráfica.
 - El **ángulo de subida** es la **arcotangente** de la **velocidad vertical dividida por la velocidad horizontal**.

$$V_V = V \sin \gamma$$

$$V_H = V \cos \gamma$$

$$G = \tan \gamma = \frac{V_V}{V_H}$$

$$\frac{L}{D} = \frac{1}{\frac{qC_{D0}}{W/S} + \frac{1}{S q \pi A e}}$$

$$V_v = V \sin \gamma = V \left(\frac{T - D}{W} \right) \cong V \left(\frac{T}{W} - \frac{1}{L/D} \right)$$

$$\frac{T}{W} = \frac{\cos \gamma}{L/D} + \sin \gamma \cong \frac{1}{L/D} + \sin \gamma = \frac{1}{L/D} + \frac{V_v}{V}$$

$$V = \sqrt{\frac{2}{\rho C_L} \left(\frac{W}{S} \right) \cos \gamma}$$

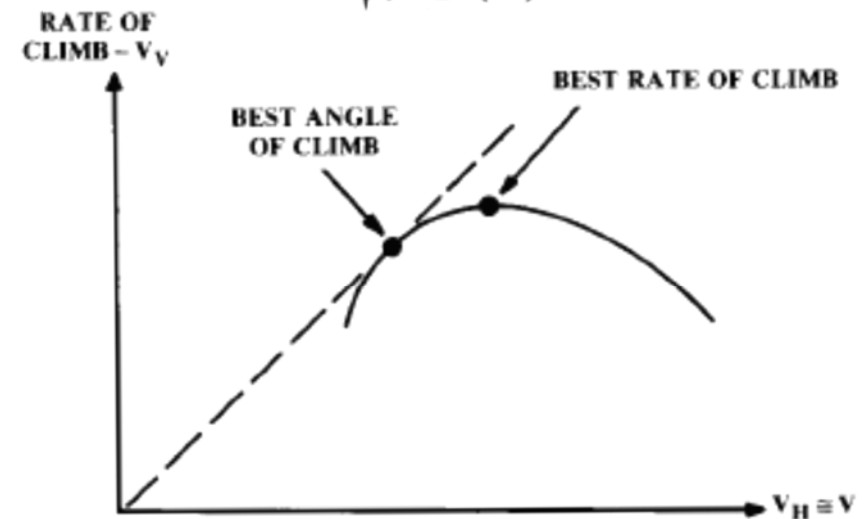


Fig. 17.3 Graphical method for best climb.

Subida - VII

Como calcular diagrama V_V vs. V_H
En función de δ_T

Jet

$$V_V = V \sin \gamma = V \left(\frac{T - D}{W} \right) \cong V \left(\frac{T}{W} - \frac{1}{L/D} \right)$$

$$\longleftrightarrow \frac{L}{D} = \frac{1}{\frac{q C_{D_0}}{W/S} + \frac{W}{qS} \frac{1}{\pi A R e}}$$

Fijar posición palanca - δ_T $\longrightarrow T = \delta_T T_{SL} \left(1 + \frac{\gamma - 1}{2} M^2 \right)^{\frac{\gamma - 1}{\gamma}} (1,00 - 0,49\sqrt{M}) \frac{\rho}{\rho_{SL}}$

Prop

$$V_V = V \sin \gamma = V \left(\frac{T - D}{W} \right) = \left(\frac{VT}{W} - \frac{VD}{W} \right) = P_{AV} - P_{REQ}$$

Fijar posición palanca - δ_T $\longrightarrow P = \delta_T P_{SL} \left(1 + \frac{\gamma - 1}{2} M^2 \right)^{\frac{\gamma - 1}{\gamma}} \frac{p}{p_{SL}}$

P_{AV} - potencia disponible siendo $P_{AV} = P \eta_p$

P_{REQ} - potencia necesaria

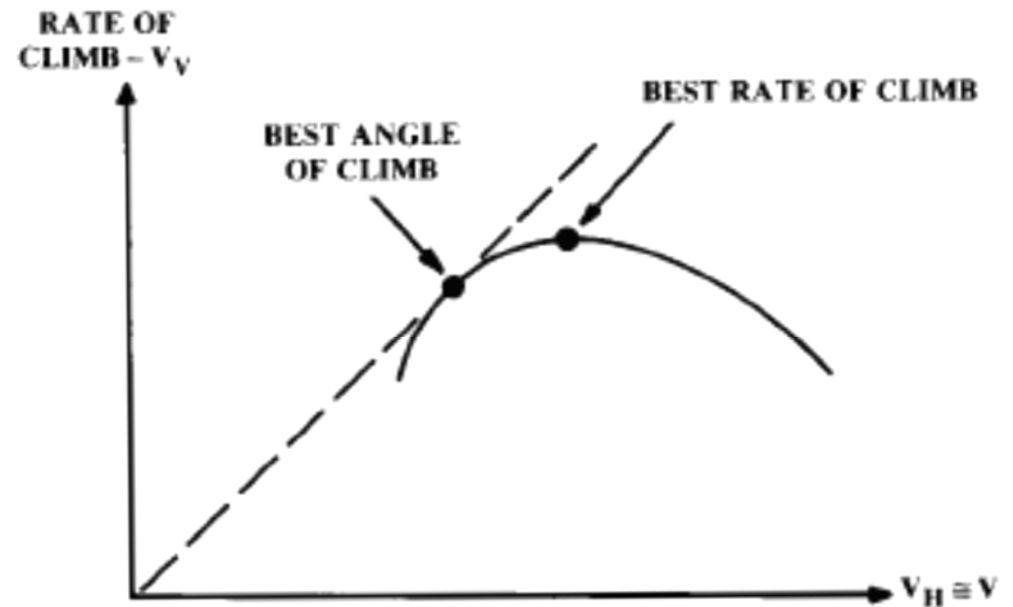


Fig. 17.3 Graphical method for best climb.

Ángulo y velocidad vertical óptima – I - Jet

- La optimización de la subida solo determina la velocidad necesaria para optimizar la subida a una altura específica.
- Determinación de la velocidad para volar al ángulo velocidad de subida óptima es bastante complicado:

- Para aviones de reacción el **ángulo óptimo de subida**:

- $T \approx \text{cte}$ con velocidad, por lo que puede ser maximizada para las condiciones de ángulo óptimo de subida.

$$\gamma = \sin^{-1}\left(\frac{T-D}{W}\right) = \sin^{-1}\left(\frac{T}{W} - \frac{\cos\gamma}{L/D}\right) \cong \sin^{-1}\left(\frac{T}{W} - \frac{1}{L/D}\right) \quad \Rightarrow \quad \frac{L}{D} = \frac{1}{\frac{qC_{D0}}{W/S} + \frac{W}{S} \frac{1}{q\pi Ae}}$$

- $T/W \approx \text{cte}$ con velocidad, la velocidad óptima para L/D óptimo es la velocidad para maximizar el ángulo de subida

$$V_{\text{min thrust or drag}} = \sqrt{\frac{2W}{\rho S}} \sqrt{\frac{K}{C_{D0}}}$$

- La **velocidad de subida óptima (max)** se obtiene mediante maximización de:

$$V_v = V \sin\gamma = V\left(\frac{T-D}{W}\right) \cong V\left(\frac{T}{W} - \frac{1}{L/D}\right) \quad \rightarrow \quad V_v = V\left(\frac{T-D}{W}\right) = V\left(\frac{T}{W}\right) - \frac{\rho V^3 C_{D0}}{2(W/S)} - \frac{2K(W)}{\rho V(S)}$$

- Asumiendo que γ es lo suficientemente pequeño: $L \approx W$

$$\frac{\partial V_v}{\partial V} = 0 = \frac{T}{W} - \frac{3\rho V^2 C_{D0}}{2(W/S)} + \frac{2K}{\rho V^2} \left(\frac{W}{S}\right) \quad \Rightarrow \quad V = \sqrt{\frac{W/S}{3\rho C_{D0}} [T/W + \sqrt{(T/W)^2 + 12C_{D0}K}]} \quad \Rightarrow \quad V_v = V \sin\gamma$$

Ángulo y velocidad vertical óptima – I - Prop

- Para aviones de motor alternativo el ángulo óptimo de subida

$$T = P\eta_p/V = 550 \text{ bhp } \eta_p/V \quad \longrightarrow \quad \gamma = \sin^{-1}\left(\frac{T-D}{W}\right) = \sin^{-1}\left(\frac{T}{W} - \frac{\cos\gamma}{L/D}\right) \cong \sin^{-1}\left(\frac{T}{W} - \frac{1}{L/D}\right)$$

$$\gamma = \sin^{-1}\left[\frac{P\eta_p}{VW} - \frac{D}{W}\right] = \sin^{-1}\left[\frac{550 \text{ bhp } \eta_p}{VW} - \frac{D}{W}\right] \quad \longrightarrow \quad \frac{\partial \gamma}{\partial V}$$

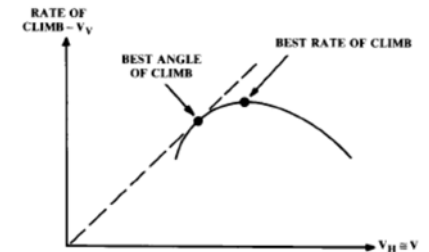


Fig. 17.3 Graphical method for best climb.

Ángulo de subida óptima \approx 85%-90% de la velocidad subida óptima

- Las velocidades óptimas suelen producir valores muy pequeños, incluso inferiores a la de entrada en pérdida, para las que la polar parabólica de coeficientes constantes no es válida debido a la resistencia debido a la separación a ángulos de ataque elevados.
- Los métodos gráficos son mucho más efectivos.
- Para aviones de motor alternativo la velocidad de subida óptima se obtiene mediante maximización de

Velocidad vertical óptima (best climb rate)

$$T = P\eta_p/V = 550 \text{ bhp } \eta_p/V \quad \longrightarrow \quad V_v = V \sin\gamma = V\left(\frac{T-D}{W}\right) \cong V\left(\frac{T}{W} - \frac{1}{L/D}\right)$$

$$V_v = V \sin\gamma = \frac{P\eta_p}{W} - \frac{DV}{W} = \frac{550 \text{ bhp } \eta_p}{W} - \frac{DV}{W}$$

Tiempo y combustible de subida.

- El tiempo necesario para llegar a una altitud dada es igual al cambio de altitud dividida por la velocidad vertical:

$$dt = \frac{dh}{V_v}$$

- El combustible consumido es el producto del empuje, el consumo específico, y el tiempo de subida.

$$dW_f = -CT dt \quad C = C_{\text{power}} \frac{V}{\eta_p} = C_{\text{bhp}} \frac{V}{550 \eta_p}$$

- A medida que el avión asciende, la **densidad**, el **peso del avión**, la **resistencia**, en **consumo específico** y la **velocidad de ascenso óptima varían con la subida**.
- Aproximación para pequeños cambios en altitud
 - Para un peso específico y empuje constante, la velocidad de ascenso se puede definir:

$$V_v = V_{v_i} - a(h_{i+1} - h_i)$$

Best vertical climb velocity

$$a = \frac{V_{v_2} - V_{v_1}}{h_2 - h_1}$$

$$V_v = V \left(\frac{T - D}{W} \right) = V \left(\frac{T}{W} \right) - \frac{\rho V^3 C_{D_0}}{2(W/S)} - \frac{2K(W)}{\rho V (S)}$$

Jet

$$V_v = V \sin \gamma = \frac{P \eta_p}{W} - \frac{DV}{W} = \frac{550 \text{ bhp } \eta_p}{W} - \frac{DV}{W}$$

Piston

- Discretizando los segmentos de subida en tramos inferiores a 5000 pies, el combustible consumido es despreciable con respecto a la masa total del avión por lo que se puede despreciar en la integración:

$$V_v = V_{v_i} - a(h_{i+1} - h_i)$$



$$dt = \frac{dh}{V_v}$$



$$t_{i+1} - t_i = \frac{1}{a} \ln \left(\frac{V_{v_i}}{V_{v_{i+1}}} \right)$$

integrando

$$\Delta W_{\text{fuel}} = (-CT)_{\text{average}} (t_{i+1} - t_i)$$



Planeo

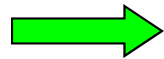
Vuelo Simétrico PV – Planeo - I

- Planeo:

- El planeo es un caso particular de descenso, aquél en que el empuje suministrado es nulo.
- Las ecuaciones del movimiento son

$$L = W \cos \gamma_d,$$

$$D = W \sin \gamma_d,$$



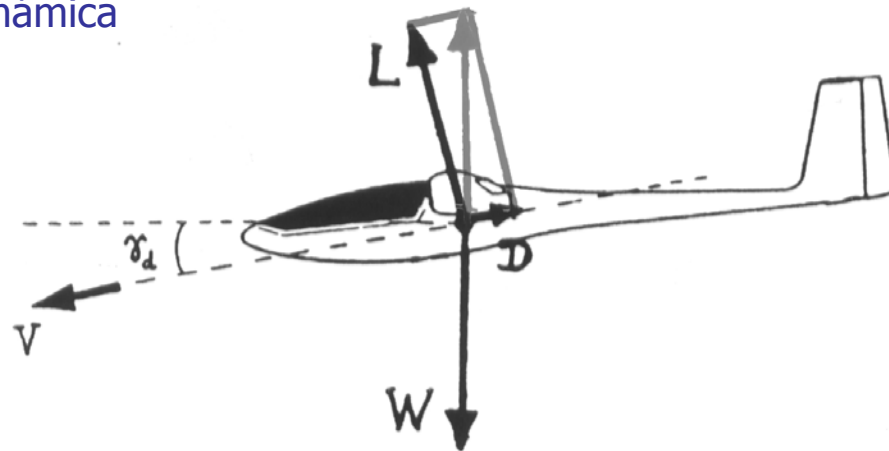
$$\gamma_d = -\gamma$$

Ángulo de planeo (descenso)

- Estas expresiones indican que, para tener una condición de planeo uniforme, la fuerza aerodinámica debe ser vertical para equilibrar al peso.

$$\tan \gamma_d = \frac{D}{L} = \frac{C_D}{C_L} = \frac{1}{E(\alpha)}$$

Eficiencia aerodinámica



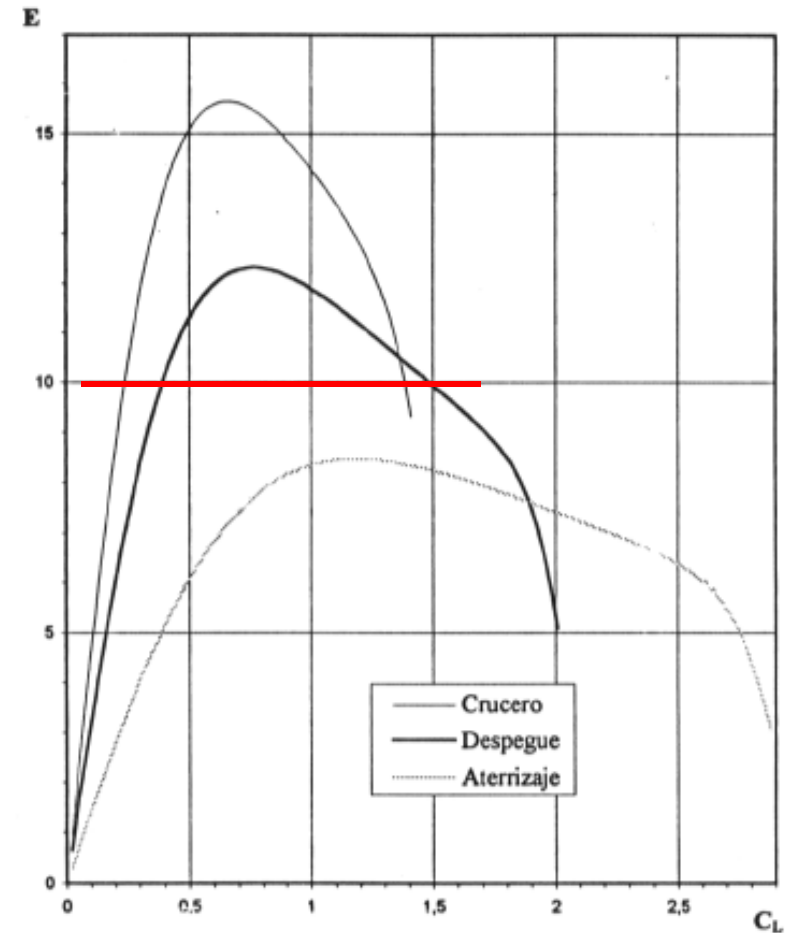
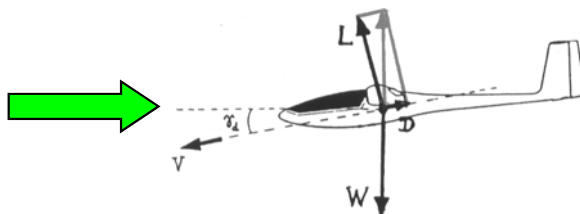
Vuelo Simétrico PV – Planeo - II

- Si se considera el caso en el que $\gamma_d \ll 1$, lo cual es adecuado cuando E es grande (los veleros) por tanto, las ecuaciones del planeo se reducen a

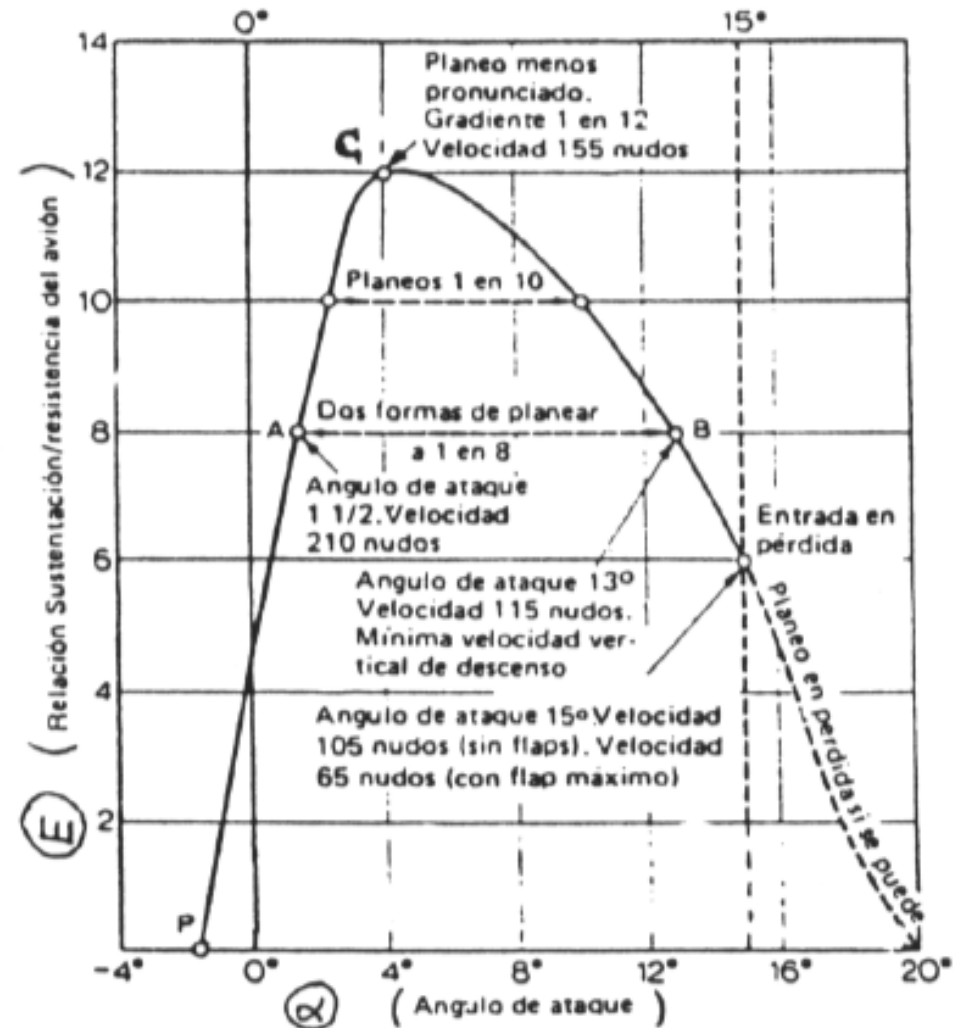
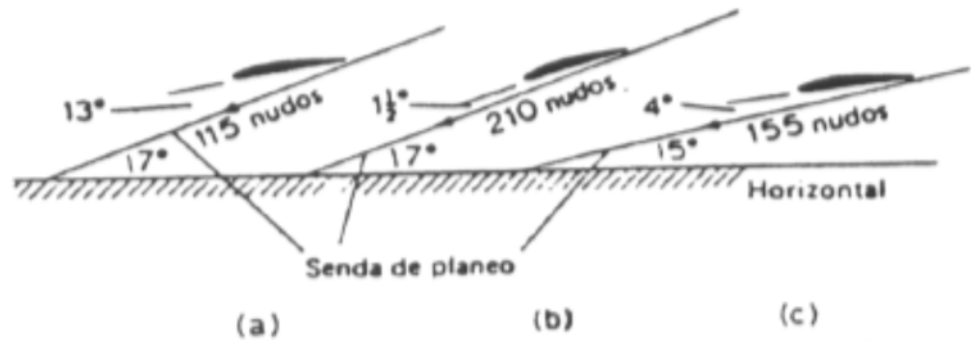
$$\begin{aligned} L &= W \cos \gamma_d, & \longrightarrow & \longrightarrow & L &\approx W, \\ D &= W \sin \gamma_d, & \longrightarrow & \longrightarrow & D &\approx W \gamma_d, \end{aligned} \quad \longrightarrow \quad \gamma_d \approx \frac{1}{E(\alpha)}.$$

- La eficiencia aerodinámica depende del ángulo de ataque, por lo que se tiene que, en general, para una eficiencia aerodinámica dada existen dos condiciones de planeo distintas.
 - El ángulo de planeo mínimo está definido por la eficiencia máxima.
 - Para cada avión existe una eficiencia aerodinámica máxima por lo que el ángulo de planeo mínimo es a su vez una característica propia de cada avión

$$\gamma_{d_{min}} \approx \frac{1}{E_{max}}$$



Vuelo Simétrico PV – Planeo - III



Vuelo Simétrico PV – Planeo - IV

- La velocidad de descenso del planeador, V_d esto es, la altura perdida por unidad de tiempo, viene dada por

$$V_d = V \sin \gamma_d \approx V \gamma_d.$$

- La velocidad de descenso mínima se puede obtener derivando la ecuación anterior respecto de V .

$$\begin{array}{ccc}
 V_d = V \sin \gamma_d \approx V \gamma_d & & \\
 \swarrow & & \\
 \begin{array}{l} L \approx W, \\ D \approx W \gamma_d, \end{array} & \xrightarrow{\text{green arrow}} & \gamma_d = \frac{1}{W} \left(\frac{1}{2} \rho V^2 S C_{D_0} + k \frac{2W^2}{\rho V^2 S} \right) \\
 & & \searrow \text{green arrow} \\
 & & V_d = V \frac{1}{W} \left(\frac{1}{2} \rho V^2 S C_{D_0} + k \frac{2W^2}{\rho V^2 S} \right)
 \end{array}$$

- Esta ecuación puede escribirse en la forma

$$V_{d_{min}} = \frac{2}{3^{\frac{3}{4}}} \frac{1}{E_{max}} \left(\frac{2W}{\rho S C_{L_{opt}}} \right)^{\frac{1}{2}}$$

Vuelo Simétrico PV – Planeo - V

$$D = W \sin\gamma$$

$$L = W \cos\gamma$$

$$\gamma_d = -\gamma$$

$$\frac{L}{D} = \frac{W \cos\gamma}{W \sin\gamma} = \frac{1}{\tan\gamma} \cong \frac{1}{\gamma} \quad \text{Tasa de planeo - Glide ratio}$$

$$\text{Glide ratio} = D_{\text{horizontal}}/D_{\text{vertical}} = L/D$$

Para maximizar el alcance $\rightarrow L/D_{\text{max}}$

$$V_{\text{max } L/D} = \sqrt{\frac{2W}{\rho S}} \sqrt{\frac{K}{C_{D0}}}$$

$$C_{L \text{ max } L/D} = \sqrt{\frac{C_{D0}}{K}}$$

$$\left(\frac{L}{D}\right)_{\text{max}} = \frac{1}{2\sqrt{C_{D0}K}} = \frac{1}{2} \sqrt{\frac{\pi Ae}{C_{D0}}}$$

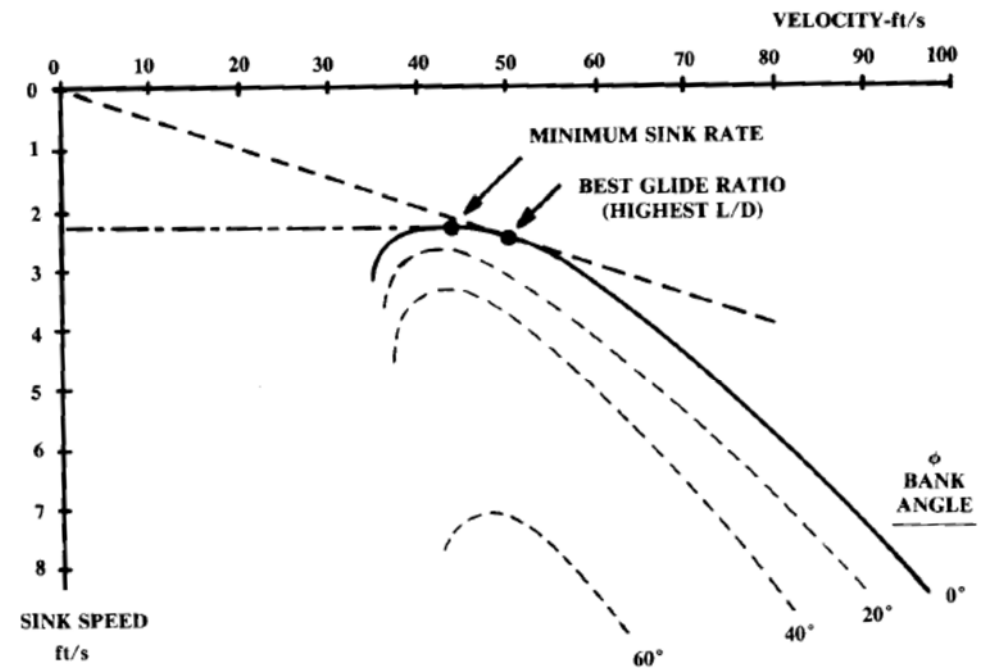


Fig. 17.6 Sailplane sink rate.

Vuelo Simétrico PV – Planeo - VI

Maximizar la autonomía reducir la tasa de descenso (sink rate)

$$V_v = V \sin\gamma = \sin\gamma \sqrt{\left(\frac{W}{S}\right) \frac{2 \cos\gamma}{\rho C_L}}$$
$$\sin\gamma = \frac{D}{L} \cos\gamma = \frac{C_D}{C_L} \cos\gamma$$
$$V_v = \sqrt{\frac{W}{S} \frac{2 \cos^3\gamma C_D^2}{\rho C_L^3}} \cong \sqrt{\frac{W}{S} \frac{2}{\rho(C_L^3/C_D^2)}}$$

C_L para mínima tasa de descenso

$$\frac{\partial}{\partial C_L} \left(\frac{C_L^3}{C_D^2} \right) = \frac{\partial}{\partial C_L} \left(\frac{C_L^3}{(C_{D0} + KC_L^2)^2} \right) = 0$$
$$C_{L \text{ min sink}} = \sqrt{\frac{3C_{D0}}{K}}$$
$$V_{\text{min sink}} = \sqrt{\frac{2W}{\rho S}} \sqrt{\frac{K}{3C_{D0}}}$$
$$\left(\frac{L}{D}\right)_{\text{min sink}} = \sqrt{\frac{3}{16KC_{D0}}} = \sqrt{\frac{3\pi Ae}{16C_{D0}}}$$

Vuelo Simétrico PV – Planeo - VII

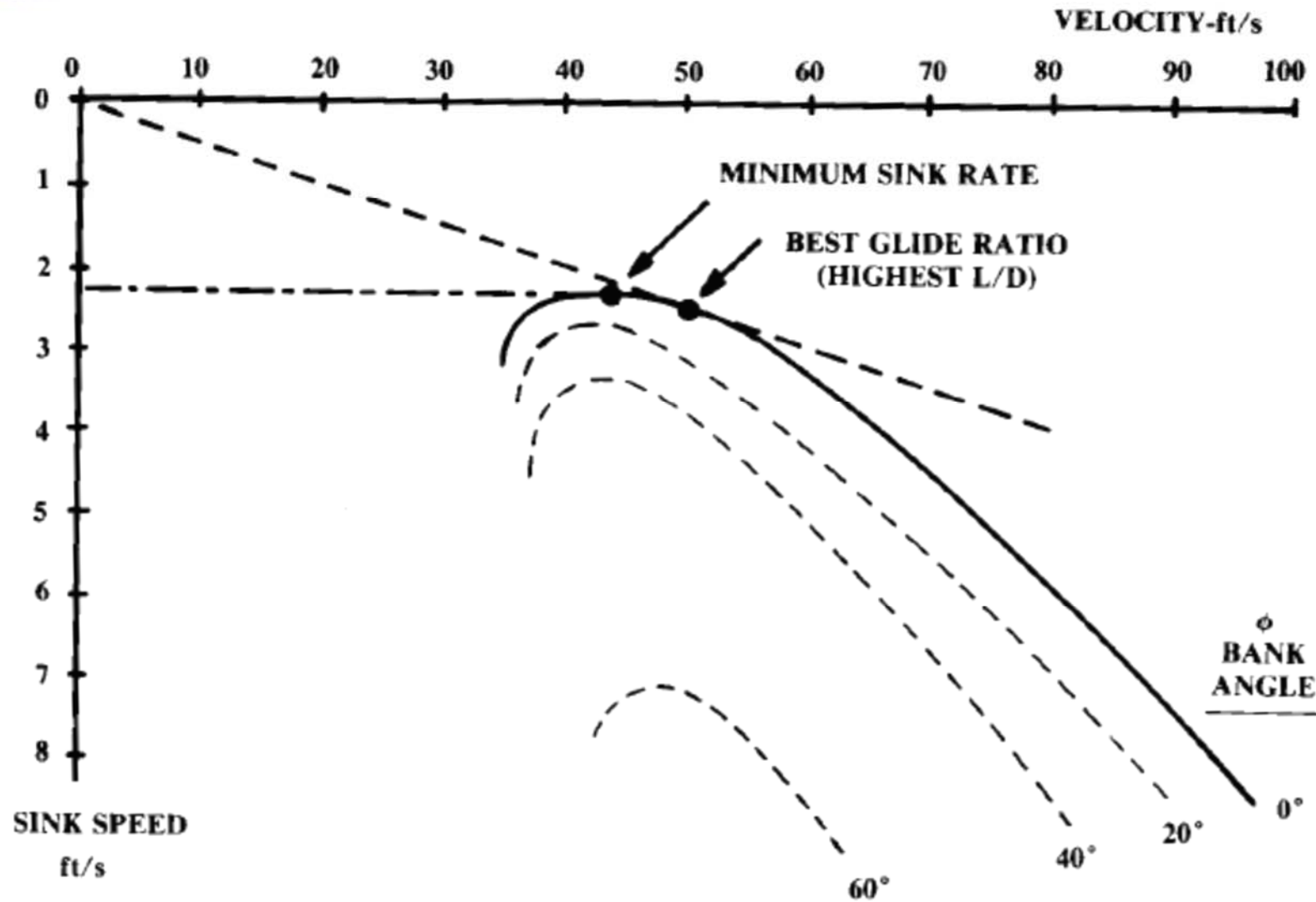


Fig. 17.6 Sailplane sink rate.

Vuelo Simétrico P.V. – V.R.U. – Planeo - V

Vuelo en Planeo

$$\begin{array}{l}
 L = W \cos \gamma_d \\
 D = W \sin \gamma_d
 \end{array}
 \begin{array}{c}
 \longrightarrow \\
 \longrightarrow \\
 \longrightarrow
 \end{array}
 \begin{array}{l}
 \tan \gamma_d = \frac{\sin \gamma_d}{\cos \gamma_d} \\
 \tan \gamma_d = \frac{D}{L} = \frac{1}{E}
 \end{array}
 \begin{array}{c}
 \longrightarrow \\
 \longrightarrow \\
 \longrightarrow
 \end{array}
 \begin{array}{l}
 \cos \gamma_d \approx 1 \\
 \sin \gamma_d \approx \gamma_d
 \end{array}
 \begin{array}{c}
 \longrightarrow \\
 \longrightarrow \\
 \longrightarrow
 \end{array}
 \tan \gamma_d \approx \gamma_d \approx \frac{1}{E}$$

Maximizar Alcance

$$x_{MAX} \rightarrow \gamma_d \approx \frac{1}{E_{MAX}} \longrightarrow E_{MAX} = \frac{1}{2\sqrt{kC_{D_0}}} \longrightarrow \gamma_{d_{MAXALCANCE}} \approx \frac{1}{E_{MAX}} = 2\sqrt{kC_{D_0}}$$

Velocidad de Descenso

$$V_d = V \sin \gamma_d \approx V \gamma_d \longrightarrow V_d = V \sin \gamma_d \approx V \gamma_d = \frac{V}{W} \left(\frac{1}{2} \rho V^2 S C_{D_0} + k \frac{2W^2}{\rho V^2 S} \right)$$

Minimizar Velocidad de Descenso

$$\begin{aligned}
 \frac{dV_d}{dV} &= \frac{d}{dV} \left(\frac{V}{W} \left(\frac{1}{2} \rho V^2 S C_{D_0} + k \frac{2W^2}{\rho V^2 S} \right) \right) = \frac{3}{2} \frac{\rho S C_{D_0} V^2}{W} - \frac{2kW}{\rho S V^2} \\
 &\begin{array}{c} \longrightarrow \\ \longrightarrow \\ \longrightarrow \end{array} \\
 a &= \frac{3}{2} \frac{\rho S C_{D_0}}{W} \\
 aV^4 - b &\Rightarrow V = \left(\frac{b}{a} \right)^{\frac{1}{4}} \\
 b &= \frac{2kW}{\rho S} \\
 V &= \left(\frac{4}{3} \frac{kW^2}{\rho^2 S^2 C_{D_0}} \right)^{\frac{1}{4}} \longrightarrow V_{d_{MIN}} = \frac{4\sqrt{2}kW}{3\rho S} \left(\frac{3\rho^2 S^2 C_{D_0}}{kW^2} \right)^{\frac{1}{4}} \\
 &\begin{array}{c} \longrightarrow \\ \longrightarrow \\ \longrightarrow \end{array} \\
 V_{d_{min}} &= \frac{2}{3^{\frac{3}{4}}} \frac{1}{E_{max}} \left(\frac{2W}{\rho S C_{L_{opt}}} \right)^{\frac{1}{2}} \longrightarrow \gamma_{d_{MAXAUTONOMIA}} = \frac{4k}{3} \left(\frac{3C_{D_0}}{k} \right)^{\frac{1}{2}}
 \end{aligned}$$

Virajes Nivelados - I

- Los **virajes nivelados** son importantes a la hora de hacer **maniobras**.
- Nos **interesa no perder energía potencial** cuando maniobramos, ya que si no tendremos que **recuperarla mediante subidas y aceleraciones**.
- En los **virajes nivelados** el **avión** tiene una **actitud** en la que el **ángulo de balance contribuye** a que haya una **componente horizontal** de la **sustentación** que actúa como la fuerza centrípeta necesaria para poder mantener un giro.
 - La sustentación del ala tiene componentes horizontal y vertical.

Turn rate
$$\dot{\psi} = \frac{W\sqrt{n^2-1}}{(W/g)V} = \frac{g\sqrt{n^2-1}}{V} \quad \text{rads/sec}$$

- Nos interesan la **velocidad de giro instantánea** y los virajes con **velocidad de giro mantenida**.

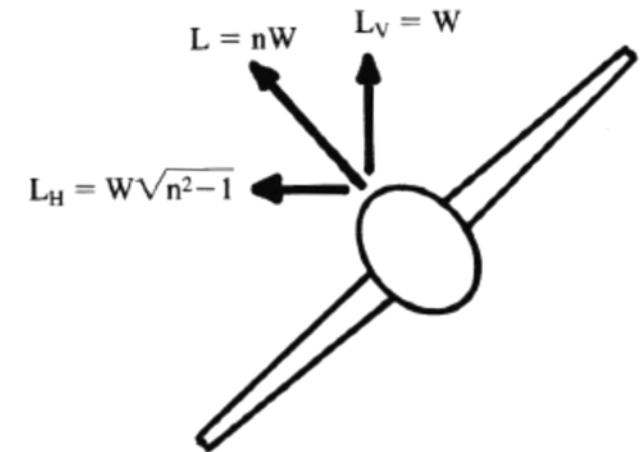
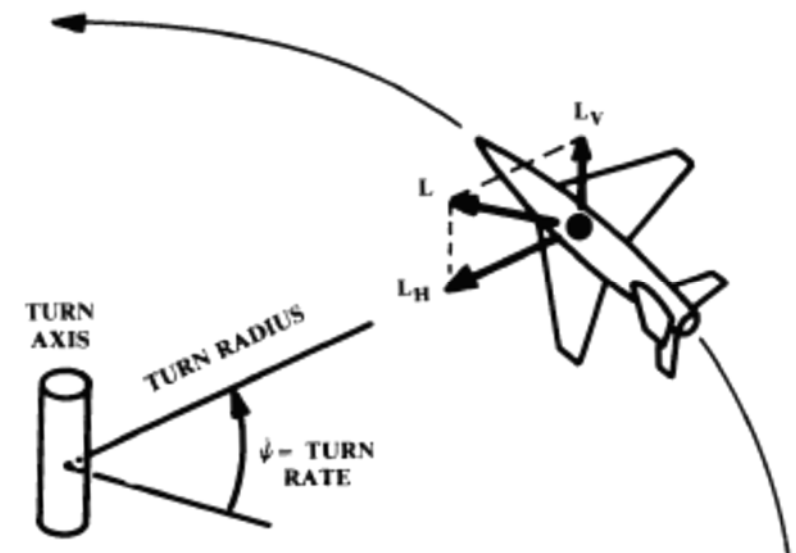


Fig. 17.5 Level turn geometry.



Virajes Nivelados - II

- La velocidad de giro instantánea define la condición en la que el avión reduce su velocidad durante el giro para maximizar dicha maniobra:
 - El factor de carga está delimitado por el coeficiente de sustentación máximo o los límites estructurales del avión.
- Durante un viraje con velocidad de giro mantenida, **no se permite que el avión pierda ni velocidad ni altura:**
 - El factor de carga máxima asumiendo que el eje de empuje está aproximadamente alineado con la dirección de vuelo

$$n = (T/W)(L/D) \quad \longrightarrow \quad C_L = nW/qS \quad \longrightarrow \quad n = \sqrt{\frac{q}{K(W/S)} \left(\frac{T}{W} - \frac{qC_{D0}}{W/S} \right)}$$

Emplear factores de carga (n) definidos en el RFP

- El factor de carga para giro mantenido puede maximizarse volando con eficiencia aerodinámica max (L/Dmax)

- Para Jet

$$V_{\min \text{ thrust or drag}} = \sqrt{\frac{2W}{\rho S}} \sqrt{\frac{K}{C_{D0}}} \quad C_{L \min \text{ thrust or drag}} = \sqrt{\frac{C_{D0}}{K}}$$

- Para Prop

$$V_{\min \text{ power}} = \sqrt{\frac{2W}{\rho S}} \sqrt{\frac{K}{3C_{D0}}} \quad C_{L \min \text{ power}} = \sqrt{\frac{3C_{D0}}{K}}$$

Virajes Nivelados - III

- Se asume que los vuelos de viraje nivelados se efectúan con **configuración de máxima autonomía**.
- La velocidad para potencia mínima es aproximadamente **0.76 V min empuje**.
 - **CL min potencia** 73% superior que CL min empuje
 - $C_{Di} = 3C_{D0}$
 - $C_D = 4 C_{D0}$
- Con potencia mínima se vuela a menor velocidad
 - $L/D = 0.866 L/D \text{ max}$

Emplear factores de carga (n) definidos en el RFP como límite para definir actuaciones máximas

Factor de carga máximo viene dado por W/S y T/W

$$n = \sqrt{\frac{q}{K(W/S)} \left(\frac{T}{W} - \frac{qC_{D0}}{W/S} \right)}$$

Virajes Nivelados - IV

- q se determina a partir de la velocidad y altitud de vuelo de máxima autonomía de cada configuración
- C_{D0} y K se estiman a partir de valores iniciales.
 - 3 niveles de hipótesis
 - Estimaciones preliminares.
 - Valores aproximados.
 - Valores más detallados.
- Ratios de W_1/W_0 se determinan a partir del estudio de fracciones de pesos preliminar.
- Ratio de Empuje en autonomía:
 - Hay que determinar cual es la combinación de planta motora que ofrece el empuje necesario para volar en crucero pero con el menor gasto de combustible.
 - Hipótesis :
 - Primera hipótesis se puede emplear la derivación de planta motora a Throttle 1
 - Buscar la configuración de planta motora que optimiza el gasto de combustible.

Viraje Estacionario - I

$$0 = -(C_{D_0} + C_{D_\alpha} \alpha_1 + C_{D_{i_h}} i_{h_1} + C_{D_{\delta_e}} \delta_{e_1}) \bar{q}_1 S + T_1 \cos(\phi_T + \alpha_1)$$

$$mU_1 R_1 - mg \sin \phi_1 = (C_{y_\beta} \beta_1 + C_{Y_r} \frac{R_1 b}{2U_1} + C_{y_{\delta_a}} \delta_{a_1} + C_{y_{\delta_r}} \delta_{r_1}) \bar{q}_1 S$$

$$-mU_1 Q_1 - mg \cos \phi_1 = -(C_{L_0} + C_{L_\alpha} \alpha_1 + C_{L_q} \frac{Q_1 \bar{c}}{2U_1} + C_{L_{i_h}} i_{h_1} + C_{L_{\delta_e}} \delta_{e_1}) \bar{q}_1 S - T_1 \sin(\phi_T + \alpha_1)$$

$$(I_{zz} - I_{yy}) R_1 Q_1 = (C_{l_\beta} \beta_1 + C_{l_r} \frac{R_1 b}{2U_1} + C_{l_{\delta_a}} \delta_{a_1} + C_{l_{\delta_r}} \delta_{r_1}) \bar{q}_1 S b$$

$$-I_{xz} R_1^2 = (C_{m_0} + C_{m_\alpha} \alpha_1 + C_{m_q} \frac{Q_1 \bar{c}}{2U_1} + C_{m_{i_h}} i_{h_1} + C_{m_{\delta_e}} \delta_{e_1}) \bar{q}_1 S \bar{c}$$

$$I_{xz} Q_1 R_1 = (C_{n_\beta} \beta_1 + C_{n_r} \frac{R_1 b}{2U_1} + C_{n_{\delta_a}} \delta_{a_1} + C_{n_{\delta_r}} \delta_{r_1}) \bar{q}_1 S b$$

Sin asimetrías propulsivas, y con la línea de empuje neto pasa por el Xcg

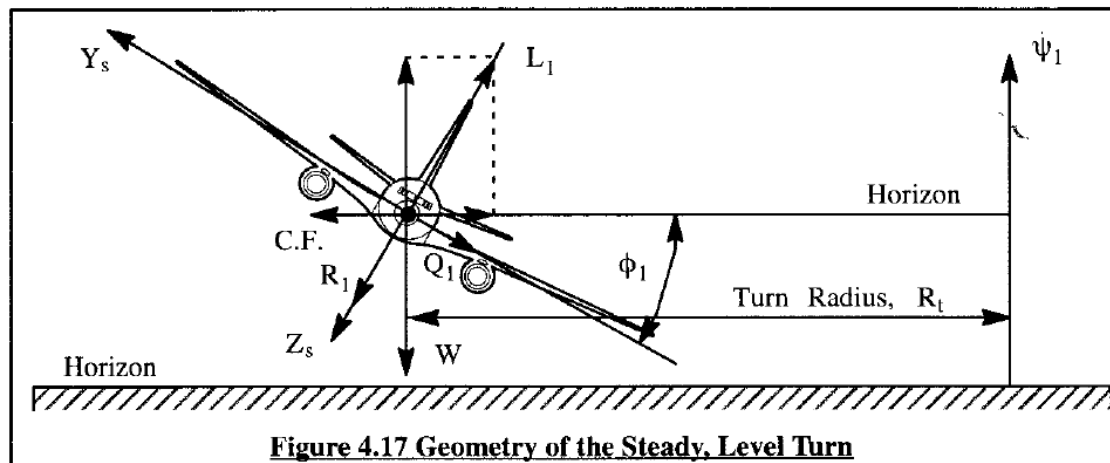


Figure 4.17 Geometry of the Steady, Level Turn

$$P_1 = 0$$

$$Q_1 = \psi_1 \sin \phi_1$$

$$R_1 = \psi_1 \cos \phi_1$$

$$M_{T_1} = L_{T_1} = N_{T_1} = F_{T_{y_1}} = 0 ..$$

Viraje Estacionario - II

Condiciones de equilibrio en Viraje Estacionario

Turn radius

$$W = L \cos \phi_1 \quad \rightarrow \quad U_1 = R_t \dot{\psi}_1 \quad \rightarrow \quad R_t = \frac{U_1^2}{g \tan \phi_1} \quad \leftarrow \quad n = 1/\cos \phi_1$$

$$Q_1 = \frac{g \sin^2 \phi_1}{U_1 \cos \phi_1} = \frac{g}{U_1} \left(n - \frac{1}{n} \right)$$

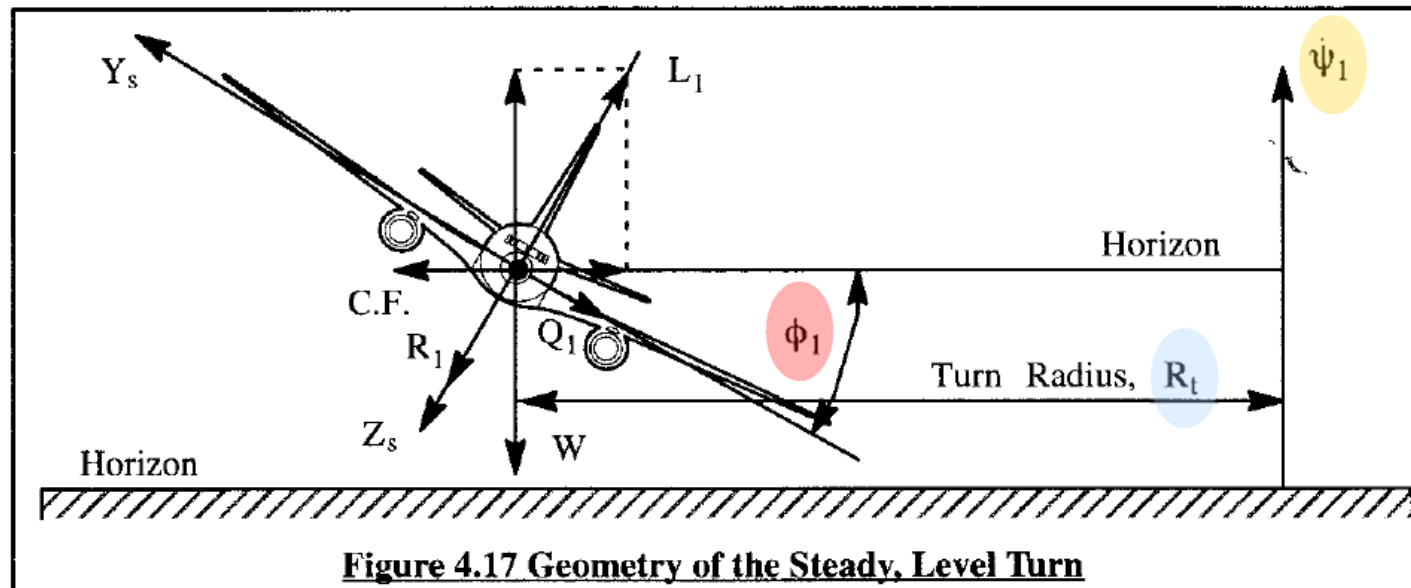
$$\dot{\psi}_1 = \frac{g \tan \phi_1}{U_1}$$

and

$$R_1 = \frac{g \sin \phi_1}{U_1} = \frac{g}{n U_1} \sqrt{n^2 - 1}$$

Turn rate

$L = nW$
Factor de carga



Viraje Estacionario - III

$$mU_1 R_1 - mg \sin \phi_1 = (C_{y_\beta} \beta_1 + C_{Y_r} \frac{R_1 b}{2U_1} + C_{y_{\delta_a}} \delta_{a_1} + C_{y_{\delta_r}} \delta_{r_1}) \bar{q}_1 S$$

$$(I_{zz} - I_{yy}) R_1 Q_1 = (C_{l_\beta} \beta_1 + C_{l_r} \frac{R_1 b}{2U_1} + C_{l_{\delta_a}} \delta_{a_1} + C_{l_{\delta_r}} \delta_{r_1}) \bar{q}_1 S b$$

$$I_{xz} Q_1 R_1 = (C_{n_\beta} \beta_1 + C_{n_r} \frac{R_1 b}{2U_1} + C_{n_{\delta_a}} \delta_{a_1} + C_{n_{\delta_r}} \delta_{r_1}) \bar{q}_1 S b$$

Lateral directional-equations

$$\begin{bmatrix} C_{y_\beta} & C_{y_{\delta_a}} & C_{y_{\delta_r}} \\ C_{l_\beta} & C_{l_{\delta_a}} & C_{l_{\delta_r}} \\ C_{n_\beta} & C_{n_{\delta_a}} & C_{n_{\delta_r}} \end{bmatrix} \begin{Bmatrix} \beta \\ \delta_a \\ \delta_r \end{Bmatrix} = \begin{Bmatrix} - C_{y_r} \frac{b g \sin \phi}{2U_1^2} \\ \frac{(I_{zz} - I_{yy}) g^2 \sin^3 \phi}{\bar{q}_1 S b U_1^2 \cos \phi} - C_{l_r} \frac{b g \sin \phi}{2U_1^2} \\ \frac{I_{xz} g^2 \sin^3 \phi}{\bar{q}_1 S b U_1^2 \cos \phi} - C_{n_r} \frac{b g \sin \phi}{2U_1^2} \end{Bmatrix}$$

Viraje Estacionario - IV

$$\beta_1 = \frac{\begin{vmatrix} a_{11} & C_{y\delta_a} & C_{y\delta_r} \\ b_{11} & C_{l\delta_a} & C_{l\delta_r} \\ c_{11} & C_{n\delta_a} & C_{n\delta_r} \end{vmatrix}}{\Delta}$$

where: $\Delta = \begin{vmatrix} C_{y\beta} & C_{y\delta_a} & C_{y\delta_r} \\ C_{l\beta} & C_{l\delta_a} & C_{l\delta_r} \\ C_{n\beta} & C_{n\delta_a} & C_{n\delta_r} \end{vmatrix}$

$$\delta_{a_1} = \frac{\begin{vmatrix} C_{y\beta} & a_{11} & C_{y\delta_r} \\ C_{l\beta} & b_{11} & C_{l\delta_r} \\ C_{n\beta} & c_{11} & C_{n\delta_r} \end{vmatrix}}{\Delta}$$

and: $a_{11} = -C_{y_r} \frac{bg \sin \phi}{2U_1^2}$

$$b_{11} = \frac{(I_{zz} - I_{yy})g^2 \sin^3 \phi}{\bar{q}_1 S b U_1^2 \cos \phi} - C_{l_r} \frac{bg \sin \phi}{2U_1^2}$$

$$c_{11} = \frac{I_{xz}g^2 \sin^3 \phi}{\bar{q}_1 S b U_1^2 \cos \phi} - C_{n_r} \frac{bg \sin \phi}{2U_1^2}$$

$$\delta_{r_1} = \frac{\begin{vmatrix} C_{y\beta} & C_{y\delta_a} & a_{11} \\ C_{l\beta} & C_{l\delta_a} & b_{11} \\ C_{n\beta} & C_{n\delta_a} & c_{11} \end{vmatrix}}{\Delta}$$

Viraje Estacionario - V

- A standard holding pattern uses right-hand turns and takes approximately 4 minutes to complete:
 - one minute for each 180 degree turn,
 - and two one-minute straight ahead sections).
 - Deviations from this pattern can happen if long delays are expected; longer legs (usually two or three minutes) may be used, or aircraft with distance measuring equipment (DME) may be assigned patterns with legs defined in nautical miles rather than minutes.
 - Less frequent turns are more comfortable for passengers and crew. Additionally, left-hand turns may be assigned to some holding patterns if there are airspace or traffic restrictions nearby.
- Aircraft flying in circles is an inefficient (and hence costly) usage of time and fuel, so measures are taken to limit the amount of holding necessary.
- Many aircraft have a specific *holding speed* published by the manufacturer; this is a lower speed at which the aircraft uses less fuel per hour than normal cruise speeds. A typical holding speed for transport category aircraft is 210 to 265 knots (491 km/h).

Viraje Estacionario – VI (Speed Limits)

- Speed Limits
 - Maximum holding speeds are established to keep aircraft within the protected holding area during their one-minute (one-minute and a half above 14,000 ft MSL – Mean Sea Level) inbound and outbound legs.
 - For civil aircraft (not military) in the United States, these airspeeds are:
 - Up to 6,000 ft MSL: 200 KIAS
 - From 6,001 to 14,000 ft MSL: 230 KIAS
 - 14,001 ft MSL and above: 265 KIAS
 - The ICAO Maximum holding speeds:
 - Up to 14000 ft: 230kts
 - 14000 ft to 20000 ft: 240kts
 - 20000 ft to 34000 ft: 265kts
 - Above 34000 ft: M0.83
 - With their higher performance characteristics, military aircraft have higher holding speed limits.

Viraje Estacionario – VII (Speed Limits)

- Speed Limits (cont)
 - In Canada the speeds are:
 - All propeller including turboprop aircraft :
 - Minimum Holding Altitude (MHA) to 30,000 ft (9,100 m): 175 kn (324 km/h; 201 mph)
 - Civilian Jet
 - MHA to 14,000 ft (4,300 m): 230 kn (426 km/h; 265 mph)
 - Above 14000 ft: 265 kn (491 km/h; 305 mph)
 - Climbing during the hold:turboprop - normal climb speed
 - Jet aircraft - 310 kn (574 km/h; 357 mph) maximum

Bibliografía

- Aircraft Design: a conceptual approach, D.P. Raymer, AIAA Education Series, 2006.
- Dynamics of Flight, Stability and Control, 3rd Ed., B. Etkin y L.D. Reid, John Wiley & Sons, 1996.
- Synthesis of subsonic airplane design, E. Torenbeek, Springer, 1982
- Airplane Design, J. Roskam, Darcorporation, 1989
- Nicolai, L.M. Carichner, G.E. Fundamentals of Aircraft and Airship Design: Vol 1, 2010
- Aircraft Performance and Design – John D. Anderson.
- Airplane Aerodynamics and Performance, Dr. Jan Roskam and Dr. Chuan-Tau Edward Lan.
- Transporte Aéreo – Actuaciones del Avión – S. Pindao – ETSIA